



ระบบตรวจจับหมวกนิรภัยของผู้ขับขี่รถจักรยานยนต์

Motorcycle Safety Helmet Detection System

| | | |
|-----------------|---------|--------------------|
| นายชัยณรงค์ | แดงน้อย | รหัสนิสิต 52362540 |
| นางสาวนันท์นภัส | บุญผล | รหัสนิสิต 52362731 |
| นายวสันต์ | ทิมทอง | รหัสนิสิต 52362892 |

| |
|---|
| ที่ดินเลขที่ ๑๗๘ ถนนสุวัฒนาภิเษก ตำบลแม่ริม อำเภอแม่ริม จังหวัดเชียงใหม่ ๕๐๑๕ ประเทศไทย |
| เลขทะเบียน ๑๖๒๖๗๕๖๗ |
| เวลาเรียกหนังสือ ๙.๐๐ น. |
| มหาวิทยาลัยแม่ฟ้า |

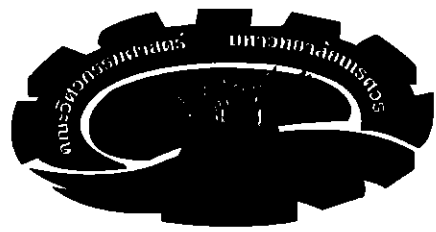
๒๕๕๘

ปริญญาในพิธีเป็นส่วนหนึ่งของการศึกษาหลักสูตรปริญญาวิศวกรรมศาสตรบัณฑิต

สาขาวิศวกรรมคอมพิวเตอร์ ภาควิชาวิศวกรรมไฟฟ้าและคอมพิวเตอร์

คณะวิศวกรรมศาสตร์ มหาวิทยาลัยแม่ฟ้า

ปีการศึกษา ๒๕๕๕



ใบรับรองปริญญาบัณฑิต

| | | | |
|-------------------|--|----------|---------------|
| ชื่อหัวข้อโครงการ | ระบบตรวจสอบมาตรฐานการวัดของผู้เข้ารีดจักรยานยนต์ | | |
| ผู้ดำเนินโครงการ | นายชัยภูมิ | แต่งน้อง | รหัส 52362540 |
| | นางสาวนันท์กัส | บุญศด | รหัส 52362731 |
| | นายวสันต์ | ทิมทอง | รหัส 52362892 |
| ที่ปรึกษาโครงการ | นายรัฐภูมิ วราภรณ์ | | |
| สาขาวิชา | วิศวกรรมคอมพิวเตอร์ | | |
| ภาควิชา | วิศวกรรมไฟฟ้าและคอมพิวเตอร์ | | |
| ปีการศึกษา | 2555 | | |

คณะวิศวกรรมศาสตร์ มหาวิทยาลัยนเรศวร อนุมัติให้โครงการฉบับนี้เป็นส่วนหนึ่งของการศึกษาตามหลักสูตรวิศวกรรมศาสตรบัณฑิต สาขาวิชาชีวกรรมคอมพิวเตอร์

คณะกรรมการสอบโครงการวิศวกรรม

.....
.....
(นายรัฐภูมิ วราภรณ์)

.....
.....
(ผู้ช่วยศาสตราจารย์ ดร. พนมชัย ริบมงคล)

.....
.....
(นางสาวจิราพร พุกสุข)

.....
.....
(นายเศรษฐา ตั้งคำานิช)

| | | | |
|------------------|--|---------|---------------|
| ชื่อหัวข้อรายงาน | ระบบตรวจสอบความนิรภัยของผู้เข้าชมจัดการยานยนต์ | | |
| ผู้ดำเนินโครงการ | นายชัยณรงค์ | แตงน้อย | รหัส 52362540 |
| | นางสาวนันท์กัล | บุญคล | รหัส 52362731 |
| | นายวสันต์ | ทิมทอง | รหัส 52362892 |
| ที่ปรึกษาโครงการ | นายรัฐภูมิ วรรณถาวรสน์ | | |
| สาขาวิชา | วิศวกรรมคอมพิวเตอร์ | | |
| ภาควิชา | วิศวกรรมไฟฟ้าและคอมพิวเตอร์ | | |
| ปีการศึกษา | 2555 | | |

บทคัดย่อ

ปัจจุบันประเทศไทยมีจำนวนรถจักรยานยนต์และผู้ขับขี่รถจักรยานยนต์เป็นจำนวนมาก ปัญหาการไม่สวมหมวกนิรภัยขณะขับขี่รถจักรยานยนต์นั้น เป็นการเพิ่มความเสี่ยงที่สมองจะถูกกระแทกกระเทือนเมื่อเกิดอุบัติเหตุ โครงการนี้จึงนำเสนอระบบตรวจสอบจับหมวกนิรภัยของผู้ขับขี่รถจักรยานยนต์ ซึ่งสามารถนำไปใช้กับภาพวิดีโอที่ถ่ายจากกล้องเว็บแคมทั่วไป โดยระบบจะเรียนจาก การรับภาพเข้ามาแล้วทำการตัดภาพพื้นหลังของวัตถุ จากนั้นนำໄไปปรับปรุงคุณภาพภาพ และหาคำจำกัดความเพื่อทำเป็นภาพใบหน้า แล้วแยกเอวตัดกันที่เป็นรถจักรยานยนต์ออกจาก จากนั้นตัดภาพส่วนบนของวัตถุเพื่อทำการตรวจสอบจำนวนศีรษะ โดยใช้การ ประเจกชั้น ส่วนของศีรษะที่ตัดแยกออกน้ำ去 จะถูกคำนวณคุณลักษณะเพื่อใช้ในการตรวจสอบการสวมหมวกนิรภัย กือ ระบบจะระหว่างจุดศูนย์กลางมวล ไปยังเด่นรอบศีรษะ ที่แบ่งเป็น 4 ควรแครนท์ ค่าเฉลี่ยของค่าระดับเทาของศีรษะที่แบ่งเป็น 4 ควรแครนท์ และค่าเฉลี่ยของค่าสี บริเวณเส้นขาวของศีรษะที่คาดว่าเป็นส่วนใบหน้า โดยคุณลักษณะทั้ง 9 นี้ผ่านการคัดเลือกคุณลักษณะจนเหลือ 8 คุณลักษณะ แล้วใช้เทคนิคเกณฑ์เรสต์เนเบอร์ ในการจำแนกข้อมูล ซึ่งระบบตรวจสอบจับหมวกนิรภัยนี้ สามารถให้ค่าความถูกต้องของข้อมูลเป็นร้อยละ 74.43

| | | | |
|------------------------|---|---------|--------------|
| Project Title | Motorcycle Safety Helmet Detection System | | |
| Name | Mr. Chainarong Tangnoi | Tangnoi | ID. 52362540 |
| | Miss Nannaphat Bundon | Bundon | ID. 52362731 |
| | Mr. Vasan Timtong | Timtong | ID. 52362892 |
| Project Advisor | Mr. Rattapoom Waranusast | | |
| Major | Computer Engineering | | |
| Department | Electrical and Computer Engineering | | |
| Academic Year | 2012 | | |

Abstract

Although motorcycle safety helmets are known for preventing head injuries. In many countries, the uses of motorcycle helmets are low, and enforcing helmet laws are labor-intensive. This project presents a system which automatically recognizes motorcyclists or passengers with or without helmets. The system extracts moving objects and classifies them as a motorcycle using K-Nearest Neighbor (KNN) classifier. Then heads of the riders are counted and segmented. The system classifies the head as wearing a helmet or not using KNN based on features derived from each head quadrants. Experimental results show an average correct detection rate of 74.43%.

กิตติกรรมประกาศ

โครงการวิศวกรรมคอมพิวเตอร์ฉบับนี้สำเร็จลุล่วงมาได้ด้วยความช่วยเหลือจากคณะกรรมการผู้จัดทำได้รับความอนุเคราะห์จากอาจารย์สุกัญ วรรณสาสน์ อาจารย์ที่ปรึกษา ที่เคยให้คำปรึกษา แนะนำวิธีการแก้ปัญหาต่างๆ รวมไปถึงกระตุ้นคณะกรรมการผู้จัดทำให้ทำงานอย่างต่อเนื่อง ทำให้คณะกรรมการผู้จัดทำทำสำเร็จได้

ทั้งนี้ยังคงขอขอบพระคุณบุญลุ่ง บุญคล บิชาของนางสาวนันท์กัส บุญคล ที่ให้ความอนุเคราะห์ทำสำหรับตั้งแต่ต้นจนจบ ตลอดจนนายภาครุ่งโรจน์ โค้กวรรณศรี เพื่อนนิสิตสาขาวิชา วิศวกรรมคอมพิวเตอร์ ที่ช่วยในการทดลองผลข้อมูล

สุดท้ายนี้ คณะกรรมการผู้จัดทำต้องขอขอบพระคุณอาจารย์ทุกท่าน บิดา มารดา ที่เคยส่งสอน ให้ความรู้จนกระทั่งคณะกรรมการผู้จัดทำสำเร็จการศึกษามาได้ด้วยดี

คณะกรรมการผู้จัดทำ



สารบัญ

| | หน้า |
|---|------|
| บทคัดย่อภาษาไทย..... | ก |
| บทคัดย่อภาษาอังกฤษ..... | ข |
| กิตติกรรมประกาศ..... | ค |
| สารบัญ..... | ง |
| สารบัญตาราง..... | น |
| สารบัญรูป..... | ศ |
| | |
| บทที่ 1 บทนำ..... | 1 |
| 1.1 ที่มาและความสำคัญของโครงการ..... | 1 |
| 1.2 วัตถุประสงค์ของโครงการ..... | 1 |
| 1.3 ขอบเขตของโครงการ..... | 2 |
| 1.4 ขั้นตอนของการดำเนินโครงการ..... | 2 |
| 1.5 แผนการดำเนินงาน..... | 3 |
| 1.6 ผลที่คาดว่าจะได้รับ..... | 4 |
| 1.7 งบประมาณ..... | 4 |
| บทที่ 2 หลักการและทฤษฎีที่เกี่ยวข้อง..... | 5 |
| 2.1 ชนิดของหมากนิรภัย..... | 5 |
| 2.2 ความรู้พื้นฐานเกี่ยวกับรูปภาพ..... | 6 |
| 2.3 Motion Detect..... | 9 |
| 2.4 Average Motion Detect..... | 10 |
| 2.5 การทำ Threshold..... | 10 |
| 2.6 Morphological Image Processing..... | 12 |
| 2.7 Contours..... | 14 |
| 2.8 เคเนียเรสต์เนบอร์ (K-Nearest Neighbor)..... | 15 |
| 2.9 งานวิจัยที่เกี่ยวข้อง..... | 16 |
| บทที่ 3 วิธีดำเนินโครงการ..... | 17 |
| 3.1 การออกแบบระบบตรวจจับหมากนิรภัย..... | 17 |
| 3.2 การเก็บผลลัพธ์..... | 30 |

สารบัญ(ต่อ)

| | หน้า |
|--|------|
| บทที่ 4 ผลการทดสอบ..... | 31 |
| 4.1 ผลการทดสอบการแยกวัตถุที่เป็นรถจักรยานยนต์..... | 31 |
| 4.2 ผลการทดสอบการแยกจำนวนศีรษะผู้โดยสาร..... | 33 |
| 4.3 ผลการทดสอบการตรวจจับหมาวกนิรภัย..... | 33 |
| บทที่ 5 สรุปผลการดำเนินงานและแนวทางพัฒนา..... | 45 |
| 5.1 สรุปผลการทดสอบ..... | 45 |
| 5.2 วิเคราะห์ปัญหาที่พบ..... | 45 |
| 5.3 ข้อเสนอแนะ..... | 46 |
| เอกสารอ้างอิง..... | 48 |
| ภาคผนวก..... | 51 |
| ประวัติผู้ดำเนินโครงการ..... | 58 |

สารบัญตาราง

| ตารางที่ | หน้า |
|--|------|
| 1.1 แผนการดำเนินงาน..... | 3 |
| 4.1 ผลการทดลองการจำแนกวัตถุที่เป็นรถจักรยานยนต์ที่ K เป็น 1..... | 31 |
| 4.2 ผลการทดลองการจำแนกวัตถุที่เป็นรถจักรยานยนต์ที่ K เป็น 3..... | 31 |
| 4.3 ผลการทดลองการจำแนกวัตถุที่เป็นรถจักรยานยนต์ที่ K เป็น 5..... | 32 |
| 4.4 ผลการทดลองการจำแนกวัตถุที่เป็นรถจักรยานยนต์ที่ K เป็น 7..... | 32 |
| 4.5 ผลการทดลองการจำแนกวัตถุที่เป็นรถจักรยานยนต์ที่ K เป็น 9..... | 32 |
| 4.6 ผลการทดลองการจำแนกวัตถุที่เป็นรถจักรยานยนต์ที่ K เป็น 11..... | 33 |
| 4.7 ผลการทดลองการแยกศีรษะผู้โดยสาร..... | 33 |
| 4.8 ผลการทดลองจากอัลกอริทึมที่ใช้กับภาพที่สมบูรณ์ที่ K เป็น 1..... | 34 |
| 4.9 ผลการทดลองจากอัลกอริทึมที่ใช้กับภาพที่สมบูรณ์ที่ K เป็น 3..... | 34 |
| 4.10 ผลการทดลองจากอัลกอริทึมที่ใช้กับภาพที่สมบูรณ์ที่ K เป็น 5..... | 35 |
| 4.11 ผลการทดลองจากอัลกอริทึมที่ใช้กับภาพที่สมบูรณ์ที่ K เป็น 7..... | 35 |
| 4.12 ผลการทดลองจากอัลกอริทึมที่ใช้กับภาพที่สมบูรณ์ที่ K เป็น 9..... | 35 |
| 4.13 ผลการทดลองจากอัลกอริทึมที่ใช้กับภาพที่สมบูรณ์ที่ K เป็น 11..... | 36 |
| 4.14 ผลการทดลองจากข้อมูลจริงเฉพาะเลนไกลกส่องที่ค่า K เป็น 1..... | 36 |
| 4.15 ผลการทดลองจากข้อมูลจริงเฉพาะเลนไกลกส่องที่ค่า K เป็น 3..... | 37 |
| 4.16 ผลการทดลองจากข้อมูลจริงเฉพาะเลนไกลกส่องที่ค่า K เป็น 5..... | 37 |
| 4.17 ผลการทดลองจากข้อมูลจริงเฉพาะเลนไกลกส่องที่ค่า K เป็น 7..... | 37 |
| 4.18 ผลการทดลองจากข้อมูลจริงเฉพาะเลนไกลกส่องที่ค่า K เป็น 9..... | 38 |
| 4.19 ผลการทดลองจากข้อมูลจริงเฉพาะเลนไกลกส่องที่ค่า K เป็น 11..... | 38 |
| 4.20 ผลการทดลองจากข้อมูลจริงเฉพาะเลนไกลกส่องที่ K เป็น 1..... | 39 |
| 4.21 ผลการทดลองจากข้อมูลจริงเฉพาะเลนไกลกส่องที่ K เป็น 3..... | 39 |
| 4.22 ผลการทดลองจากข้อมูลจริงเฉพาะเลนไกลกส่องที่ K เป็น 5..... | 40 |
| 4.23 ผลการทดลองจากข้อมูลจริงเฉพาะเลนไกลกส่องที่ K เป็น 7..... | 40 |
| 4.24 ผลการทดลองจากข้อมูลจริงเฉพาะเลนไกลกส่องที่ K เป็น 9..... | 40 |
| 4.25 ผลการทดลองจากข้อมูลจริงเฉพาะเลนไกลกส่องที่ K เป็น 11..... | 41 |
| 4.26 ผลการทดลองจากข้อมูลจริงรวมกันทั้ง 2 เลนที่ K เป็น 1..... | 41 |
| 4.27 ผลการทดลองจากข้อมูลจริงรวมกันทั้ง 2 เลนที่ K เป็น 3..... | 42 |

สารบัญตาราง(ต่อ)

| ตารางที่ | หน้า |
|--|------|
| 4.28 ผลการทดลองจากข้อมูลจริงรวมกันทั้ง 2 เลนที่ K เป็น 5..... | 42 |
| 4.29 ผลการทดลองจากข้อมูลจริงรวมกันทั้ง 2 เลนที่ K เป็น 7..... | 43 |
| 4.30 ผลการทดลองจากข้อมูลจริงรวมกันทั้ง 2 เลนที่ K เป็น 9..... | 43 |
| 4.31 ผลการทดลองจากข้อมูลจริงรวมกันทั้ง 2 เลนที่ K เป็น 11..... | 43 |



สารบัญรูป

| รูปที่ | หน้า |
|---|------|
| 2.1 แสดงหมวดนิรภัยแบบครึ่งศีรษะ..... | 5 |
| 2.2 แสดงหมวดนิรภัยแบบเต็มศีรษะ..... | 5 |
| 2.3 แสดงหมวดนิรภัยแบบเต็มหน้า..... | 6 |
| 2.4 ระบบสี RGB..... | 7 |
| 2.5 ระบบสี HSV..... | 7 |
| 2.6 ค่าระดับเทาขนาด 4 บิต..... | 8 |
| 2.7 แสดงภาพขาว-ดำ..... | 9 |
| 2.8 กระบวนการ Motion Detect..... | 9 |
| 2.9 กระบวนการ Average Motion Detect..... | 10 |
| 2.10 แสดงรูปที่เกิดจากการทำ Threshold..... | 10 |
| 2.11 แสดงรูปที่เกิดจากการทำ Otsu Threshold..... | 11 |
| 2.12 แสดงรูปที่เกิดจากการทำ Adaptive Threshold..... | 12 |
| 2.13 แสดงการเปรียบเทียบก่อน (ด้านซ้าย) – หลัง (ด้านขวา) การขยายขนาดภาพ..... | 13 |
| 2.14 แสดงการเปรียบเทียบก่อน (ด้านซ้าย) – หลัง (ด้านขวา) การกร่อนข้อมูลภาพ..... | 13 |
| 2.15 แสดงการเปรียบเทียบก่อน (ด้านซ้าย) – หลัง (ด้านขวา) การทำ Opening Operation.... | 14 |
| 2.16 แสดงการเปรียบเทียบก่อน (ด้านซ้าย) – หลัง (ด้านขวา) การทำ Closing Operation.... | 14 |
| 2.17 แสดงการทำ Contours..... | 15 |
| 2.18 แสดงการใช้เทคนิค K-Nearest Neighbor..... | 15 |
| 3.1 การออกแบบระบบตรวจจับหมวดนิรภัยของผู้เข้าบุรุษจากการบานยนต์..... | 17 |
| 3.2 การรับภาพวิดีโอไปประมวลผล..... | 18 |
| 3.3 การตัดภาพพื้นหลังของวัตถุ (Background Subtraction)..... | 18 |
| 3.4 การทำ Smoothing Filter ด้วยวิธี Simple Blur..... | 19 |
| 3.5 การทำ Threshold เพื่อทำให้คลายเป็นภาพใบหน้า..... | 19 |
| 3.6 การทำ Morphological Closing..... | 20 |
| 3.7 การสร้างเส้นสมมติเพื่อตรวจสอบวัตถุเคลื่อนไหวที่มาสัมผัสและทิศทางของการเดินรถ | 20 |
| 3.8 พื้นที่สี่เหลี่ยมที่ครอบวัตถุ..... | 21 |
| 3.9 รูปแสดงความกว้าง และความสูงของวัตถุ..... | 21 |
| 3.10 รูปแสดงพื้นที่ (กรอบสีแดง) ที่ใช้คำนวณส่วนเบี่ยงเบนมาตรฐานของค่าสี..... | 22 |

สารบัญรูป(ต่อ)

| รูปที่ | หน้า |
|---|------|
| 3.11 การใช้เทคนิค K-Nearest Neighbor ในการจำแนกวัตถุที่เป็นรถจักรยานยนต์..... | 22 |
| 3.12 รูปที่เกิดจากการตัดภาพ 25% ของส่วนบนภาพรถจักรยานยนต์..... | 23 |
| 3.13 ตัวอย่างการทำโปรเจกชันตามแนวตั้ง (Vertical projection)..... | 23 |
| 3.14 การทำค่าเฉลี่ยเคลื่อนที่ (Moving Average)..... | 23 |
| 3.15 การหาขอเขตของการ โปรเจกชัน..... | 24 |
| 3.16 เส้นแสดงคำแนะนำเฉลี่ยของ โปรเจกชัน..... | 24 |
| 3.17 การตรวจสอบการเปลี่ยนแปลงค่าใน narr ในแนวลากับ..... | 24 |
| 3.18 a) Binary Image b) horizontal projection profiles c) First order derivative..... | 25 |
| 3.19 การแบ่งส่วนของศีรษะให้วัตถุที่หันศีรษะด่างที่กัน เก็บค่าในส่วนเดียวกัน..... | 26 |
| 3.20 ตัวอย่างของการหาระยะทางจากจุดศูนย์กลางมวลไปยังเส้นรอบในส่วนที่ 1 (Q1)..... | 27 |
| 3.21 ตัวอย่างของการหาค่าเฉลี่ยของค่าระดับเทาในส่วนที่ 2 (Q2)..... | 27 |
| 3.22 ตัวอย่างของการหาค่าเฉลี่ยของค่าระดับเทาในส่วนที่ 3 (Q3)..... | 28 |
| 3.23 การใช้เทคนิค K-Nearest Neighbor เพื่อจำแนกหมวดหมู่..... | 29 |
| 3.24 รูปแสดงผลลัพธ์ของระบบตรวจจับหมวดหมู่ของผู้ขับขี่รถจักรยานยนต์..... | 29 |
| 3.25 แสดงการเก็บข้อมูลไว้ใน Log File..... | 30 |
| 5.1 รถที่มีลักษณะซ้อนกัน ทำให้มองเป็นวัตถุเดียวกัน ไม่สามารถแยกได้..... | 45 |
| 5.2 ผู้โดยสารที่นั่งชิดกันจนทำให้ไม่สามารถแยกออกจากกันได้..... | 46 |
| 5.3 การทำ Morphological กับภาพที่มีความละเอียดไม่เท่ากัน..... | 46 |
| 5.4 ตัวอย่างของระบบตรวจจับคนเดินที่ปรับใช้จากโครงงาน..... | 47 |

บทที่ 1

บทนำ

1.1 ที่มาและความสำคัญของโครงการ

ปัจจุบันรถจักรยานยนต์ถือว่าเป็นยานพาหนะในการเดินทางที่มีความคล่องตัวสูง ทำให้มีคนจำนวนไม่น้อย เลือกใช้ไว้อันวายความสะดวกในชีวิตประจำวัน โดยเฉพาะวัยรุ่น นิสิตนักศึกษาซึ่งกำลังอยู่ในวัยเรียน เพราะเป็นยานพาหนะที่มีราคาไม่สูง และประหยัดเวลาในการเดินทาง

ในขณะที่รถจักรยานยนต์เป็นยานพาหนะที่อำนวยความสะดวกให้กับผู้ใช้ได้ ก็ย่อมมีผลที่ตรงกันข้าม เพราะจากสถิติอุบัติเหตุการจราจรภายในประเทศไทย พบว่าติดอันดับที่หนึ่ง ของสาเหตุการเสียชีวิตทั้งหมด [2] และเมื่อแยกประเภทรถที่เกิดอุบัติเหตุ พบว่าเกิดจากรถจักรยานยนต์มากที่สุด [11] [12] ซึ่งสาเหตุส่วนใหญ่เกิดจากการไม่ได้สวมใส่หมวกนิรภัย [13] ทำให้มีความกระหายนระทื่อนบริเวณศีรษะและสมองอย่างรุนแรง บางรายเสียชีวิต บางรายพิการถาวร เกิดเป็นภาระให้กับครอบครัวและสังคม มหาวิทยาลัยนเรศวรก็เข่นกัน นิสิตในมหาวิทยาลัยนิยมใช้จักรยานยนต์ในการเดินทาง เพราะมีความสะดวก คล่องตัว โดยในปี 2554 นิสิตในมหาวิทยาลัยนเรศวรก็เกิดอุบัติเหตุจากการจักรยานยนต์เป็นผลให้เกิดการบาดเจ็บ 255 คน และเสียชีวิตถึง 13 คน [25] โดยนิสิตเหล่านี้ต่างก็ไม่ได้สวมหมวกนิรภัย จนกระทั่งมหาวิทยาลัยได้จัดโครงการรณรงค์สวมหมวกนิรภัย 100 เปอร์เซ็นต์ขึ้น ให้มีการตรวจจับนิสิตและบุคลากรผู้ไม่สวมใส่หมวกนิรภัย ภายในบริเวณมหาวิทยาลัยนเรศวร โดยมีบลลง. ไทยทั้งการปรับแต่งหักคะแนนความประพฤติเพื่อให้เกิดความปลดปล่อยในการขับขี่แก่นิสิตและบุคลากร แต่ก็ยังไม่เป็นผลนัก เพราะการตรวจจับมีความยุ่งยาก เพราะขนาดพื้นที่ในมหาวิทยาลัยมีความกว้างขวางรวมทั้งการตรวจจับในแต่ละครั้ง ต้องใช้จำนวนเจ้าหน้าที่จำนวนมาก จึงไม่สามารถเฝ้าตรวจจับตลอดเวลาได้

กลุ่มผู้จัดทำโครงการ จึงได้มีการพัฒนาระบบตรวจจับหมวกนิรภัยของผู้ขับขี่รถจักรยานยนต์ ขึ้น เพื่อช่วยในการตรวจจับหมวกนิรภัยภายในบริเวณมหาวิทยาลัย เพื่อลดภาระของเจ้าหน้าที่ และช่วยในการลดการบาดเจ็บจากอุบัติเหตุรถจักรยานยนต์จากการตรวจจับอย่างเข้มงวด นอกจากร้านซัมซุงสามารถนำไปพัฒนาต่อของด้วยระบบตรวจจับทะเบียนรถ ที่ใช้บนห้องถนนเพื่อควบคุมกฎหมายต่อไป

1.2 วัตถุประสงค์ของโครงการ

1.2.1 เพื่อศึกษาอัลกอริทึมในการประมวลผลภาพ เพื่อตรวจจับหมวกนิรภัย

1.2.2 เพื่อศึกษาลักษณะของหมวกนิรภัยและรถจักรยานยนต์ในรูปแบบต่างๆ

1.2.3 เพื่อพัฒนาโปรแกรม เพื่อตรวจจับหมวกนิรภัยของผู้ขับขี่รถจักรยานยนต์บนท้องถนน

1.3 ขอนเบตของโครงงาน

- 1.3.1 กล้องที่ใช้ในการถ่ายภาพเป็นกล้องเว็บแคม (webcam) ที่สามารถหาซื้อได้ทั่วไป
- 1.3.2 ความละเอียดของวิดีโอต้องมีขนาด 640×480 ขึ้นไป
- 1.3.3 อัตราการแสดงภาพเคลื่อนไหวของกล้องวิดีโอดีที่ใช้มีจำนวนตั้งแต่ 30 ภาพต่อวินาที
- 1.3.2 จุดที่ใช้ตรวจสอบภาพอยู่บนถนนภายในบริเวณมหาวิทยาลัยเรศวร
- 1.3.3 ช่วงเวลาที่มีการตรวจจับต้องเป็นเวลากลางวันที่มีแสงแดดเพียงพอ และไม่มีฝนตก
- 1.3.4 หากค้านหลังต้องเป็นจุดที่ค่อนข้างนิ่ง ไม่มีคนพลุกพล่านหรือเป็นบริเวณต้นไม้ หนาแน่น

1.4 ขั้นตอนของการดำเนินโครงงาน

- 1.4.1 ศึกษาข้อมูลเกี่ยวกับการประมวลผลภาพ ที่จะนำมาตรวจจับหมวดนิรภัย
- 1.4.2 เก็บภาพรถจักรยานยนต์บนท้องถนนเพื่อนำมาใช้ประกอบการทดลอง
- 1.4.3 ศึกษาอัลกอริทึมที่ใช้ในการประมวลผลภาพ และตรวจจับหมวดนิรภัย
- 1.4.4 ออกแบบระบบตรวจจับหมวดนิรภัย
- 1.4.5 ลงมือพัฒนาระบบที่ออกแบบไว้
- 1.4.6 ทดสอบโปรแกรมและแก้ไขข้อผิดพลาด
- 1.4.7 สรุปผลการดำเนินงาน
- 1.4.8 จัดทำรูปเล่ารายงาน

1.6 ผลที่คาดว่าจะได้รับ

1.6.1 ได้รู้จักอัลกอริทึมต่างๆ ในการเขียนโปรแกรมที่มีมาอยู่แล้วและนำไปปรับปรุงให้เป็นอัลกอริทึมที่เหมาะสมที่สุดสำหรับการทำโครงการ

1.6.2 ได้เรียนรู้เกี่ยวกับลักษณะของหมวดนิรภัย และรถจักรยานยนต์

1.6.3 สามารถเชื่อมต่อโปรแกรมกับกล้องวิดีโอ เพื่อรับภาพให้ได้ความรวดเร็ว และได้โปรแกรมตรวจจับหมวดนิรภัยของผู้ขับขี่รถจักรยานยนต์ที่มีประสิทธิภาพ

1.6.4 สามารถตรวจจับหมวดนิรภัยของผู้ขับขี่รถจักรยานยนต์ได้ และสามารถนำไปปรับใช้ให้เป็นประโยชน์ในการควบคุมกฎหมาย

1.7 งบประมาณ

| | | |
|--------------------------------------|-------------|---------------------|
| ค่าพิมพ์เอกสารและเข้าเล่มวิทยานิพนธ์ | 1400 | บาท |
| ค่าอุปกรณ์กล้องเว็บแคม (webcam) | 600 | บาท |
| ค่าวัสดุสำนักงาน | 500 | บาท |
| ค่าถ่ายเอกสารประกอบการค้นคว้า | 500 | บาท |
| รวมเป็นเงินทั้งสิ้น | <u>3000</u> | บาท (สามพันบาทถ้วน) |

หมายเหตุ: ถ้าจะเดี่ยวทุกรายการ

บทที่ 2

หลักการและทฤษฎีที่เกี่ยวข้อง

2.1 ชนิดของหมวกนิรภัย

2.1.1 หมวกนิรภัยแบบครึ่งศีรษะ หมวกนิรภัยชนิดนี้เป็นหมวกที่นำเข้ามาใช้เป็นชนิดแรก มีลักษณะเป็นรูปครึ่งทรงกลม โดยด้านข้างและด้านหลังปิดเสมอระดับหู มีสายรัดคาด สามารถคลุนได้ครึ่งศีรษะ [1]



รูปที่ 2.1 แสดงหมวกนิรภัยแบบครึ่งศีรษะ

ที่มา: สถาบันหมวกนิรภัย เว็บไซต์ <http://wisdom7.sitthichoke.info/safety-helmet/>

2.1.2 หมวกนิรภัยแบบเต็มศีรษะ หมวกนิรภัยชนิดนี้เป็นหมวกนิรภัยที่ตัดแปลงมาจากหมวกแบบครึ่งศีรษะ มีลักษณะเป็นทรงกลม ปิดด้านข้างและด้านหลังเสมอแนวขากรรไกรและต้นคอ ด้านหน้าปิดเหนือคิ้วลงนาดึงปลายคาง มีสายรัดคาด [1]



รูปที่ 2.2 แสดงหมวกนิรภัยแบบเต็มศีรษะ

ที่มา: สถาบันหมวกนิรภัย เว็บไซต์ <http://wisdom7.sitthichoke.info/safety-helmet/>

2.1.3 หมวดนิรภัยแบบเต็มหน้า หมวดนิรภัยนิคที่มีลักษณะเป็นทรงกลม ปิดด้านข้าง ด้านหลัง ขักรรไกร และคาง เปิดช่องหน้าตรงตำแหน่งตาท่านั้น มีสายรัดคาง [2]



รูปที่ 2.3 แสดงหมวดนิรภัยแบบเต็มหน้า

ที่มา: สถาบันหมวดนิรภัย เว็บไซต์ <http://wisdom7.sitthichoke.info/safety-helmet/>

2.2 ความรู้พื้นฐานเกี่ยวกับรูปภาพ

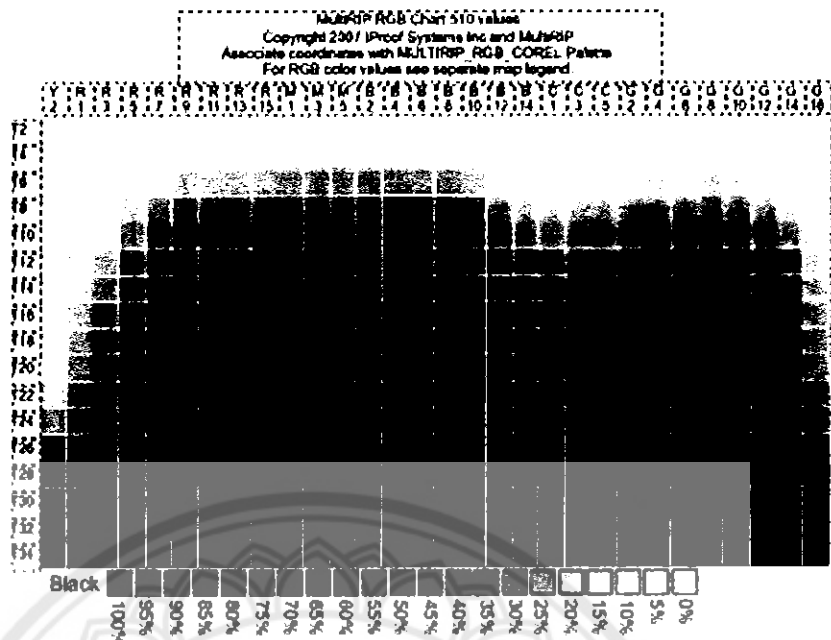
2.2.1 รูปร่างของภาพ [3]

วัตถุต่างๆ ที่มีอยู่ในโลกทั้งที่มนุษย์ร่างขึ้น และเกิดเองตามธรรมชาติ ย่อมมีรูปร่าง และขนาดแตกต่างกันออกไป ในศาสตร์ของการประมวลผลภาพ จึงมีการกำหนดขอบเขตของภาพทุกภาพให้อยู่ในรูปสี่เหลี่ยม (Rectangular image model) เพื่อทำให้การจัดเก็บข้อมูล และการอ่านภาพ เป็นไปได้อย่างมีประสิทธิภาพ

โดยการจัดเก็บข้อมูลภาพลงบนรากฐานความจำของคอมพิวเตอร์จะทำได้โดยการของพื้นที่ ไว้ในรูปของตัวแปรอาร์เรย์ (Array) ขนาด $M \times N$ (M แถว และ N คอลัมน์) ใช้เก็บภาพขนาด $M \times N$ จุด ซึ่งแต่ละช่องตำแหน่งของอาร์เรย์จะแสดงคุณสมบัติของจุดภาพ (Pixel)

2.2.2 ระบบสี RGB (Red/Green/Blue) [4]

ระบบสี RGB เป็นระบบสีในคอมพิวเตอร์ที่มากลีพื้นฐานที่ทุกคนรู้จัก คือ สีแดง สีเขียว และสีน้ำเงิน โดย RGB เกิดจากการผสมสีที่มีอัตราส่วนของสีทั้งสามสีนั้นอยู่ในช่วง 0 ถึง 255 ซึ่งค่า 0 คือสีดำ และ 255 คือสีขาว ทั้งสามสีนั้นจะมีค่าสีทั้งหมด 256 สี คือ 0 ถึง 255 โดยมองเป็น กระดับเทา เมื่อเราจะใช้กีฬผสมทั้งสามสีเข้าด้วยกันให้ได้สีที่ต้องการ จึงสามารถผสมสีออกมากได้ถึง 16,777,216 สี

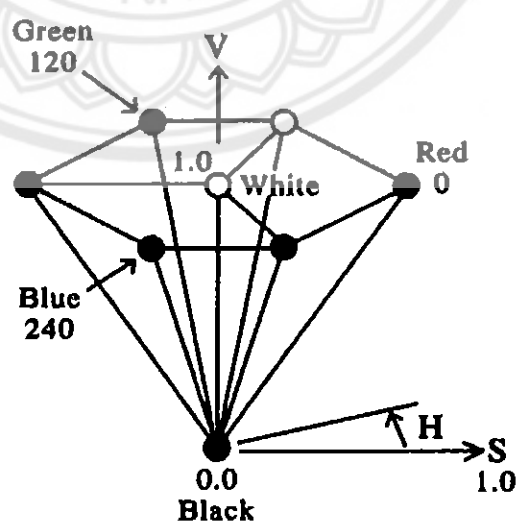


รูปที่ 2.4 ระบบสี RGB

ที่มา: เว็บไซต์ <http://www.qghservice.com/images/rgb.JPG>

2.2.3 ระบบสี HSV (Hue/Saturation/Value) [4]

ระบบสี HSV เป็นระบบสีซึ่ง Hue คือค่าสีบริสุทธิ์ S บ่อมากจาก Saturation คือค่าแสงคงกับค่าสี ส่วน V บ่อมากจาก Value คือค่าความสว่างของภาพ โดยไม่เคลื่อนที่ของระบบสี HSV จะมีความแตกต่างจากระบบสีแบบ RGB คือมีลักษณะเป็นพีระมิดฐาน 6 เหลี่ยมดังรูปที่ 2.5



รูปที่ 2.5 ระบบสี HSV

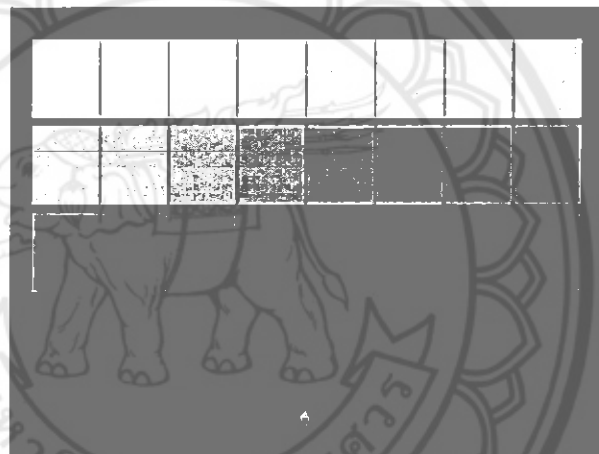
ที่มา: เว็บไซต์ http://viz.aset.psu.edu/gho/sem_notes/color_2d/gifs/hsv_model.gif

โดยพิรัมิดของระบบสี HSV แปลงมาจากสูญเสียของระบบสี RGB แบบไม่เชิงเส้น HSV จะใช้ค่าในพิกัดเชิงมุมชื่้ง H คือค่ามุนรอบแกนตั้ง (0-360 องศา) S คือค่าอัตราส่วนที่วัดจาก แกนตั้งไปยังพื้นผิวของพิรัมิด (มีค่าตั้งแต่ 0-1) และ V คือค่าความสูงของพิรัมิด

2.2.4 ภาพระดับสีเทา (Grayscale Image) [5]

ภาพระดับสีเทา เกิดจากค่าความเข้มแสงในแต่ละตำแหน่งของจุดภาพ โดยค่าความเข้มแสงหรือค่าระดับเทา มีค่าเท่ากับ 2^n เมื่อ n คือจำนวนบิตของภาพ เช่นภาพขนาด 8 บิต จะมีค่าความเข้มแสงหรือค่าระดับเทาทั้งหมด $2^8 = 256$ ระดับ คือตั้งแต่ 0 ถึง 255 การแปลงภาพจาก RGB มาเป็นภาพระดับสีเทา สามารถทำได้ดังสมการนี้

$$\text{Gray} = (0.3 \times R) + (0.59 \times G) + (0.11 \times B) [4]$$

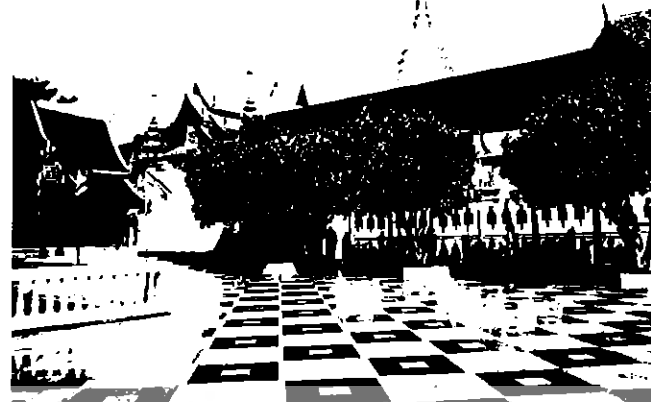


รูปที่ 2.6 ค่าระดับเทาขนาด 4 บิต

ที่มา: http://www.blackandwhitedigital.com/images/gif/thumbnail/T_GreyscaleOriginal.gif

2.2.5 ภาพขาว-ดำ (Binary Image) [5]

ภาพขาว-ดำ ในภาพจะประกอบไปด้วยสีขาว และสีดำเท่านั้น ซึ่งค่าที่เป็นไปได้จะมีเพียงสองค่า คือ 0 (สีดำ) และ 255 (สีขาว) จึงนิยมการเก็บค่าภาพเพียงแค่ 1 บิต



รูปที่ 2.7 แสดงภาพขาว-ดำ

2.3 Motion Detect

เป็นกระบวนการที่ใช้ในการตรวจจับความเคลื่อนไหวของภาพ โดยอาศัยหลักการความแตกต่างของภาพทั้งสองภาพ (Background Subtraction) สำหรับแทนค่าวิธีสมการดังนี้

$$g(x, y) = f(x, y) - h(x, y)$$

โดยกำหนดให้ $g(x, y)$ = ผลลัพธ์ของความต่างทั้งสองภาพ $f(x, y)$ = เฟรมภาพอดีต $h(x, y)$ = เฟรมภาพปัจจุบัน

| | | |
|---|---|---|
| $\begin{bmatrix} 50 & 255 & 40 & 100 & 100 \\ 255 & 127 & 80 & 200 & 100 \\ 127 & 90 & 50 & 30 & 150 \\ 40 & 255 & 155 & 50 & 60 \\ 70 & 255 & 0 & 20 & 90 \end{bmatrix}$ | $\begin{bmatrix} 50 & 255 & 80 & 100 & 200 \\ 255 & 127 & 90 & 200 & 120 \\ 127 & 90 & 50 & 30 & 150 \\ 40 & 255 & 255 & 50 & 60 \\ 70 & 255 & 200 & 20 & 90 \end{bmatrix}$ | $\begin{bmatrix} 50 & 255 & 40 & 100 & 100 \\ 255 & 127 & 10 & 200 & 20 \\ 127 & 90 & 0 & 30 & 150 \\ 40 & 255 & 100 & 50 & 60 \\ 70 & 255 & 200 & 20 & 90 \end{bmatrix}$ |
| $g(x, y)$ | เฟรมภาพที่ k | เฟรมภาพที่ n-1 |

รูปที่ 2.8 กระบวนการ Motion Detect

จากรูปที่ 2.8 แสดงค่าวิธีการหาความแตกต่างของภาพทั้งสองภาพ ได้ผลลัพธ์ออกมาเป็นภาพ $g(x, y)$ ซึ่งภาพ $g(x, y)$ นี้จะแสดงถึงวัตถุที่กำลังเคลื่อนไหว ข้อจำกัดของการหาความต่างของภาพคือ ภาพทั้งสองภาพต้องมีขนาดเท่ากันและต้องเป็นภาพประเภทเดียวกัน [5]

2.4 Average Motion Detect

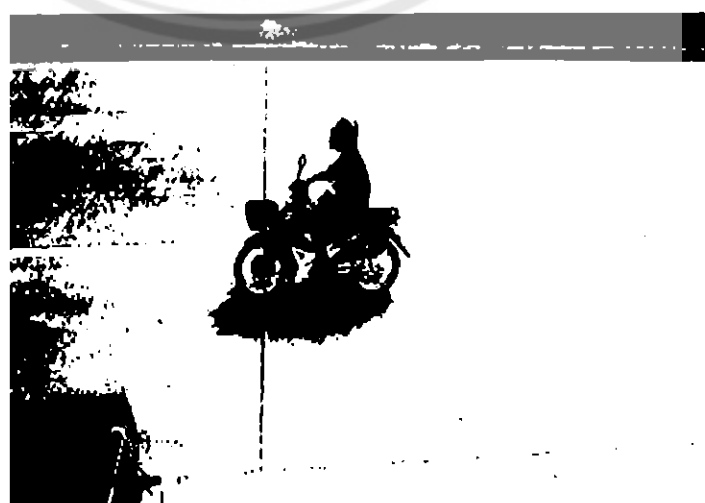
เป็นกระบวนการที่นำการหาความแตกต่างของภาพมาประยุกต์ใช้เพื่อให้เกิดความแม่นยำมากขึ้น โดยนำภาพจำนวน n ภาพมาหาค่าเฉลี่ยของแต่ละพิกเซล แล้วนำไปสร้างเป็นภาพใหม่ เพื่อที่จะนำไปใช้ในการหาความแตกต่างของภาพที่กำลังเข้ามายังเฟรมปัจจุบัน ดังตัวอย่างรูปที่ 2.9

| | | | |
|---|------------------|----------------------|------------------|
| $\begin{bmatrix} 36 & 43 & 33 & 11 & 3 \\ 40 & 33 & 70 & 18 & 3 \\ 16 & 10 & 33 & 13 & 33 \\ 20 & 6 & 33 & 3 & 16 \end{bmatrix} = \begin{bmatrix} 10 & 20 & 50 & 5 & 0 \\ 20 & 0 & 100 & 25 & 0 \\ 0 & 0 & 25 & 10 & 30 \\ 30 & 5 & 30 & 0 & 20 \end{bmatrix} \begin{bmatrix} 0 & 10 & 20 & 10 & 0 \\ 50 & 0 & 50 & 20 & 0 \\ 30 & 0 & 25 & 10 & 30 \\ 20 & 5 & 30 & 0 & 20 \end{bmatrix} \begin{bmatrix} 100 & 100 & 30 & 20 & 10 \\ 50 & 50 & 60 & 10 & 10 \\ 20 & 30 & 50 & 20 & 40 \\ 10 & 10 & 40 & 10 & 10 \end{bmatrix}$ | | | |
| Average frame | frame n-1 | frame n-2 | frame n-3 |
| $\begin{bmatrix} 14 & 212 & 47 & 89 & 197 \\ 215 & 94 & 20 & 182 & 117 \\ 111 & 80 & 17 & 17 & 117 \\ 20 & 249 & 222 & 47 & 44 \\ 50 & 245 & 200 & 83 & 80 \end{bmatrix} = \begin{bmatrix} 50 & 255 & 80 & 100 & 200 \\ 255 & 127 & 90 & 200 & 120 \\ 127 & 90 & 50 & 30 & 150 \\ 40 & 255 & 255 & 50 & 60 \\ 70 & 255 & 200 & 20 & 90 \end{bmatrix} - \begin{bmatrix} 36 & 43 & 33 & 11 & 3 \\ 40 & 33 & 70 & 18 & 3 \\ 16 & 10 & 33 & 13 & 33 \\ 20 & 6 & 33 & 3 & 16 \\ 20 & 10 & 0 & 103 & 10 \end{bmatrix}$ | frame n | average frame | |
| $g(x, y)$ | | | |

รูปที่ 2.9 กระบวนการ Average Motion Detect

2.5 การทำ Threshold [6]

การทำ Threshold คือการแปลงภาพเดิมสีเทา ให้กลายเป็นภาพขาว-ดำ (Binary Image) โดยจะให้จุดภาพ (Pixel) มีขนาด 1 บิตเท่านั้นคือ 0 (สีดำ) และ 1 (สีขาว) ซึ่งจะสามารถช่วยแยกฉุกเฉินจากพื้นหลัง วิธีที่ใช้ในการแปลงภาพให้เป็นขาว-ดำ ทำได้โดยการกำหนดค่า Threshold ขึ้นมา ถ้าหนึ่ง หากจุดในภาพมีค่าความเข้มแสงมากกว่าค่า Threshold จุดนั้นจะถูกปรับให้เป็นสีดำ หรือถ้า จุดใดในภาพมีค่าความเข้มแสงน้อยกว่าหรือเท่ากับค่า Threshold จุดนั้นก็จะถูกปรับให้เป็นสีขาว



รูปที่ 2.10 แสดงรูปที่เกิดจากการทำ Threshold

2.5.1 Otsu Threshold [7]

การทำ Otsu Threshold เป็นการทำ Threshold วิธีหนึ่งซึ่งมีหลักการคือ วัดระยะห่างในชิสโทแกรมระหว่าง 2 บริเวณหรือ 2 ขดล โดยให้ระยะห่างของทั้ง 2 บริเวณมีค่ามากที่สุด เพราะบริเวณ 2 บริเวณจะได้แยกออกจากกันอย่างชัดเจน โดยจะต้องเลือกค่า Threshold ที่ทำให้ผลการคำนวณมีค่ามากที่สุด โดยสามารถคำนวนได้จากสมการ

$$\sigma_{Between}^2 = n_D(T)n_B(T)[u_D(T) - u_B(T)]^2$$

เมื่อ

$\sigma_{Between}^2$ คือ ความแปรปรวนรวมของทั้งชิสโทแกรม (ต้องให้มีค่ามากที่สุด)

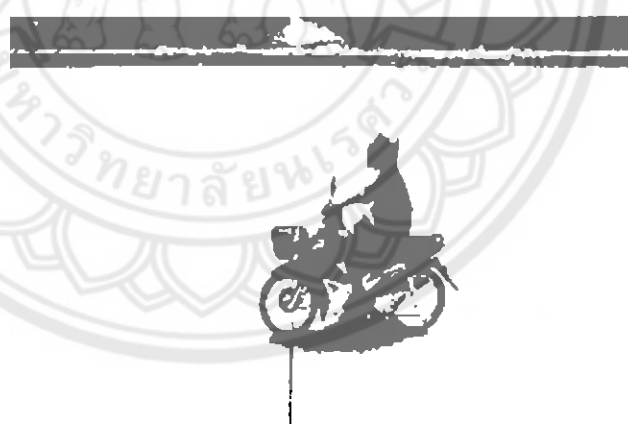
T คือ ค่า Threshold ที่ต้องการหา

$n_D(T)$ คือ จำนวนพิกเซลทั้งหมดของบริเวณด้านมืด ที่มีค่าความเข้มแสง ตั้งแต่ 0 จนถึงค่าความเข้มแสงเท่ากับ $T - 1$

$n_B(T)$ คือ จำนวนพิกเซลทั้งหมดของด้านสว่าง ที่มีค่าความเข้มแสง ตั้งแต่ T จนถึง $2^B - 1$ เมื่อ B คือจำนวนบิตของระบบภาพ

$u_D(T)$ คือ ค่าเฉลี่ยของชิสโทแกรมฝั่งด้านมืด

$u_B(T)$ คือ ค่าเฉลี่ยของชิสโทแกรมฝั่งด้านสว่าง

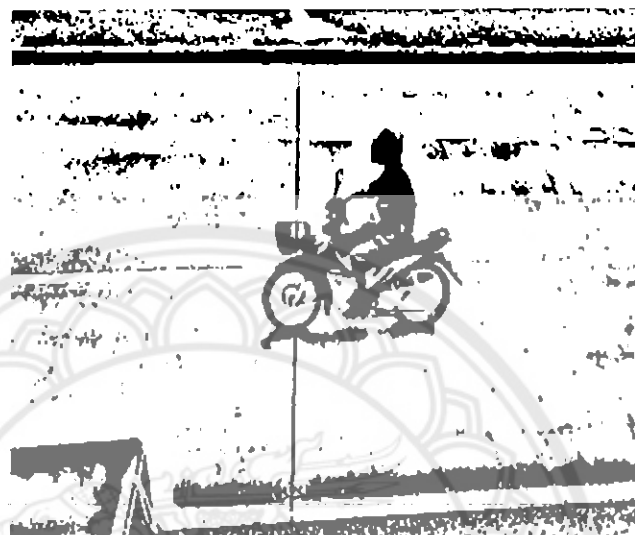


รูปที่ 2.11 แสดงรูปที่เกิดจากการทำ Otsu Threshold

2.5.2 Adaptive Threshold [6]

Adaptive Threshold เป็นการทำ Threshold ที่เหมาะสมกับภาพที่มีความสว่างไม่สม่ำเสมอ เพราะเป็นการกำหนดค่า Threshold ขึ้นมาหลายค่า โดยสร้าง window ขนาด $N \times N$ ขึ้นมา (แนะนำ

ให้ N เป็นเลขจำนวนคี่) แล้วนำไปวางครอบบนบริเวณใดบริเวณหนึ่งของภาพ จากนั้นนำค่า Grayscale ของแต่ละจุดภาพมาบวกกันแล้วหารด้วยจำนวนจุดทั้งหมด จะได้ค่า Threshold มาเพื่อนำไปเปรียบเทียบแบบการทำ Threshold ปกติ โดยจะทำแบบนี้ทุกบริเวณที่ไม่ซ้ำกันของภาพ ก็จะได้ภาพขาวดำที่มีความละเอียดเพิ่มขึ้นอีก



รูปที่ 2.12 แสดงรูปที่เกิดจากการทำ Adaptive Threshold

2.6 Morphological Image Processing [5]

Morphological Image Processing เป็นทฤษฎีการประมวลผลภาพที่ใช้วิธีการจัดองค์ประกอบภาพขึ้นมาใหม่ โดยใช้การแทนที่หรือการตัดออก เพื่อให้ได้โครงสร้างภาพที่เหมาะสมสำหรับภาพขาว-ดำ (Binary Image)

2.6.1 การขยายขนาดภาพ (Dilation) [5]

เป็นการขยายขนาดของวัตถุในภาพเพื่อให้วัตถุที่ไม่มีสมาชิกร่วมกัน แต่อยู่ใกล้กันสามารถเชื่อมกันได้ โดยมีวิธีการดังนี้คือ ถ้าจุดศูนย์กลางมีค่าความเข้มแสงเป็น 0 ให้เลื่อนไปคูที่จุดถัดไป แต่ถ้าเป็น 1 ให้ทำการ OR กับสมาชิกที่อยู่รอบๆ และเปลี่ยนค่าตามที่อุปกรณานำเสนอ

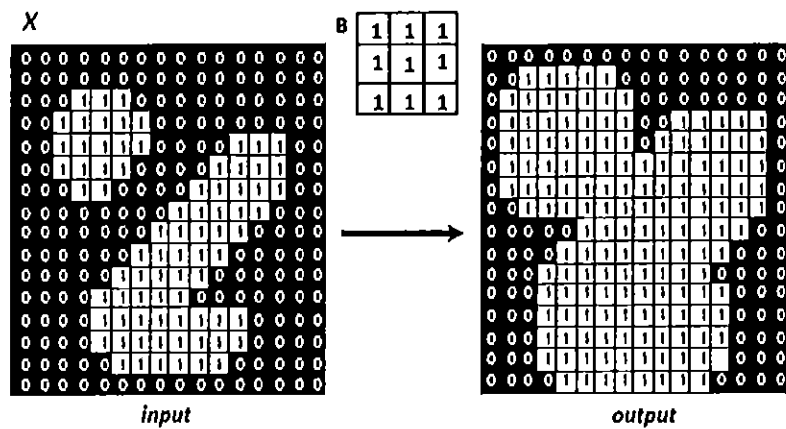


Figure 1. Effect of dilation using a 3×3 square structural element B.

รูปที่ 2.13 แสดงการเบริ่ยนเทียบก่อน (ด้านซ้าย) – หลัง (ด้านขวา) การขยายขนาดภาพ
ที่มา: http://deploy.virtual-labs.ac.in/labs/cse19/theory_html_37e381f2.png

2.6.2 การกร่อนข้อมูลภาพ (Erosion) [5]

การกร่อนข้อมูลภาพเป็นการดำเนินการคล้ายๆ กับการขยายขนาดภาพ แต่เป็นการกระทำตรงกันข้าม กือลดขนาดของวัตถุในภาพให้เล็กลง โดยการเปลี่ยนแปลงค่าจุดที่เป็นของวัตถุภาพในภาพให้กลายเป็นค่า 0

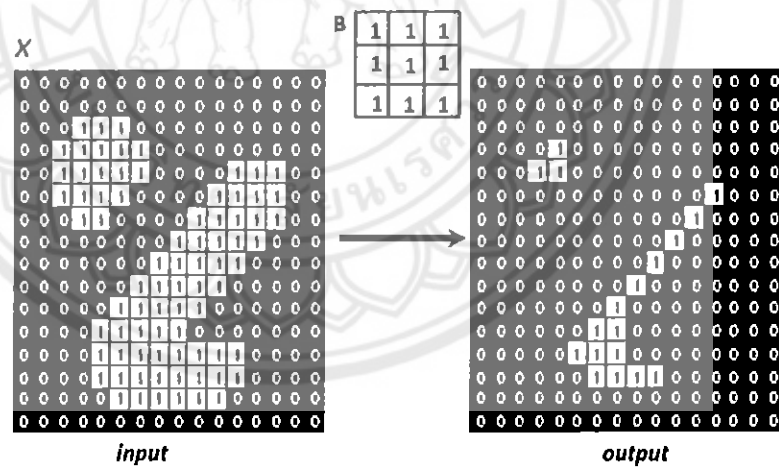


Figure 2. Effect of erosion using a 3×3 square structural element B.

รูปที่ 2.14 แสดงการเบริ่ยนเทียบก่อน (ด้านซ้าย) – หลัง (ด้านขวา) การกร่อนข้อมูลภาพ
ที่มา: http://deploy.virtual-labs.ac.in/labs/cse19/theory_html_m23129e3e.png

2.6.3 Opening and Closing Operation

2.6.3.1 **Opening Operation** เป็นกระบวนการที่ช่วยในการกำจัดวัตถุขนาดเล็กออกไปเพื่อให้วัตถุขนาดใหญ่มีขอบที่เรียบและชัดเจนขึ้น โดยจะมีวิธีการทำงานคือ กร่อนข้อมูลภาพ (Erosion) ก่อน แล้วตามด้วยการขยายขนาดภาพ (Dilation)

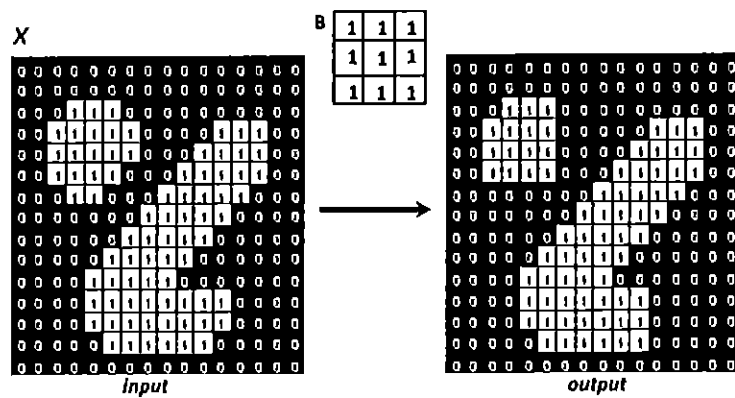


Figure 3. Effect of opening using a 3×3 square structural element B.

รูปที่ 2.15 แสดงการเปรียบเทียบก่อน (ด้านซ้าย) – หลัง (ด้านขวา) การทำ Opening Operation

ที่มา: http://deploy.virtual-labs.ac.in/labs/cse19/theory_html_m7e9b3438.png

2.6.3.2 Closing Operation เป็นกระบวนการที่ช่วยให้วัตถุในภาพที่เป็นช่องเด็กๆ ถูกเติมเต็ม ไม่ทำให้ภาพขาดหาย去 แต่ขอบจะดูเรียบ โดยกระบวนการนี้ใช้วิธีขยายขนาดภาพ (Dilation) ก่อนแล้วจึงตามด้วยการกร่อนข้อมูลภาพ (Erosion)

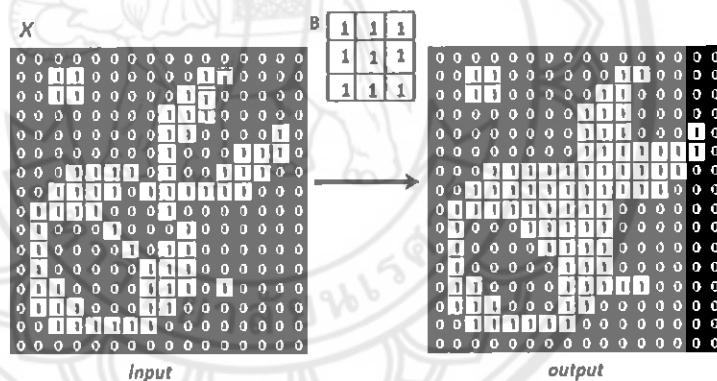


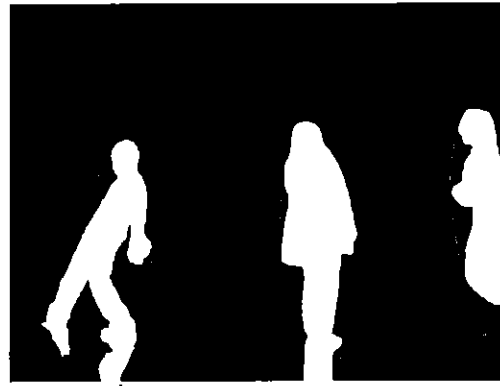
Figure 4. Effect of closing using a 3×3 square structural element B.

รูปที่ 2.16 แสดงการเปรียบเทียบก่อน (ด้านซ้าย) – หลัง (ด้านขวา) การทำ Closing Operation

ที่มา: http://deploy.virtual-labs.ac.in/labs/cse19/theory_html_m594e600f.png

2.7 Contours

เป็นกระบวนการที่ใช้ในการหาขอบเขตของวัตถุในรูปภาพ เพื่อที่จะนำวัตถุนั้นมาใช้การในการวิเคราะห์ว่าวัตถุนั้นเป็นอย่างไร ดังรูปที่ 2.17



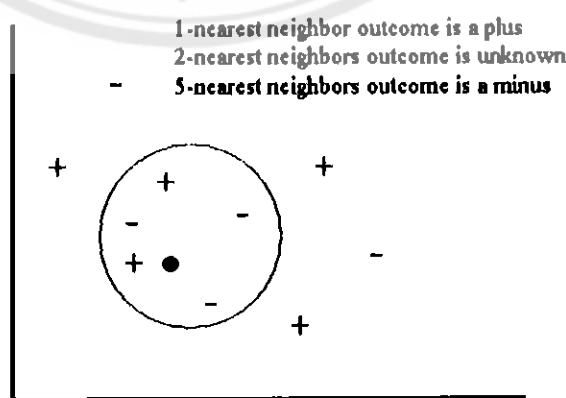
รูปที่ 2.17 แสดงการทำ Contours

ที่มา: <http://kineme.net/composition/benoitlahoz>

2.8 เคเนียเรสต์เนบอร์ (K-Nearest Neighbor) [8]

เทคนิคเคนเนียเรสต์เนบอร์ เป็นอัลกอริทึมที่ใช้ในการจัดกลุ่มข้อมูล โดยให้กลุ่มข้อมูลที่อยู่ใกล้ที่สุดกับข้อมูลที่ต้องการพิจารณามากที่สุดจำนวน K ตัว เพื่อให้สามารถจัดกลุ่มของข้อมูลได้ว่า ข้อมูลใหม่นี้จะอยู่ในกลุ่ม (Class) ใด โดยมีขั้นตอนวิธีดังนี้

- 2.8.1 กำหนดขนาดของ K (การกำหนดให้เป็นเลขคี่)
- 2.8.2 คำนวณระยะห่าง (Distance) ของข้อมูลที่ต้องการพิจารณา กับกลุ่มข้อมูลตัวอย่าง
- 2.8.3 จัดเรียงลำดับของระยะห่าง และเลือกพิจารณาชุดข้อมูลที่ใกล้ชิดที่ต้องการพิจารณาตามจำนวน K ที่กำหนดไว้
- 2.8.4 พิจารณาข้อมูลจำนวน k ชุด และสังเกตว่ากลุ่ม (Class) ไหนที่ใกล้ชิดที่พิจารณาเป็นจำนวนมากที่สุด
- 2.8.5 กำหนด class ให้กับชุดที่พิจารณา (Class) ที่ใกล้ชิดพิจารณามากที่สุด



รูปที่ 2.18 แสดงการใช้เทคนิค K-Nearest Neighbor

ที่มา: <http://www.statsoft.com/Portals/0/Support/KNNOViewImageA.jpg>

2.9 งานวิจัยที่เกี่ยวข้อง

จากการศึกษาค้นคว้าเกี่ยวกับทฤษฎีและงานวิจัยที่เกี่ยวข้องกับการตรวจจับหมวดนิรภัยเบื้องต้นแล้ว สามารถทำงานวิจัยเหล่านี้มาประยุกต์ใช้ ซึ่งมีดังนี้

Che-Yen Wen [18] ได้นำเสนอวิธีการตรวจสอบหมวดนิรภัยโดยอาศัยหลักการของ Hough Transform ซึ่งดูที่ความโค้งของหมวดนิรภัย ในส่วนนี้มีข้อดีคือ ทำให้สามารถตรวจสอบส่วนที่เป็นศีรษะได้จำกัด แต่อ้างจะทำให้ไม่สามารถตรวจจับหมวดนิรภัยที่มีรูปร่างอื่นๆ ได้

MIN-YU KU และคณะ [15] ได้นำเอาความยาวที่มองเห็น (Visual length) ความกว้างที่มองเห็น (Visual width) และอัตราส่วนของพิกเซลภาพ (Pixel ratio) มาใช้ในการตรวจสอบผู้ขึ้บชิงรถจักรยานยนต์ว่าสวมหมวดนิรภัยหรือไม่ ซึ่งในงานวิจัยนี้ ให้ค่าความถูกต้องค่อนข้างสูง โดยเฉลี่ยมากกว่าร้อยละ 90 แต่ระบบจะไม่รองรับการตรวจสอบรถจักรยานยนต์ที่มีผู้โดยสารตั้งแต่ 2 คนขึ้นไป

กิตากร ตั้งสุจารินทร์ และคณะ [5] ได้นำเสนอวิธีการตรวจจับหมวดนิรภัยโดยอาศัยคุณสมบัติ 3 ข้อของส่วนศีรษะ คือ สีผิว สีผิว และความชันชับซ้อนของเส้นขอบ ซึ่งวิธีการนี้มีค่าความถูกต้องประมาณร้อยละ 70 แต่เนื่องจากมุ่งกลั่งที่ใช้ถ่ายภาพเป็นด้านหน้าบัน จึงทำให้ไม่สามารถตรวจจับรถจักรยานยนต์ที่ผู้ขึ้บชิงมีสีผิวผิดจากธรรมชาติ (ผนมีสีอ่อน) และไม่สามารถตรวจจับรถจักรยานยนต์ที่มีผู้ซ้อนได้

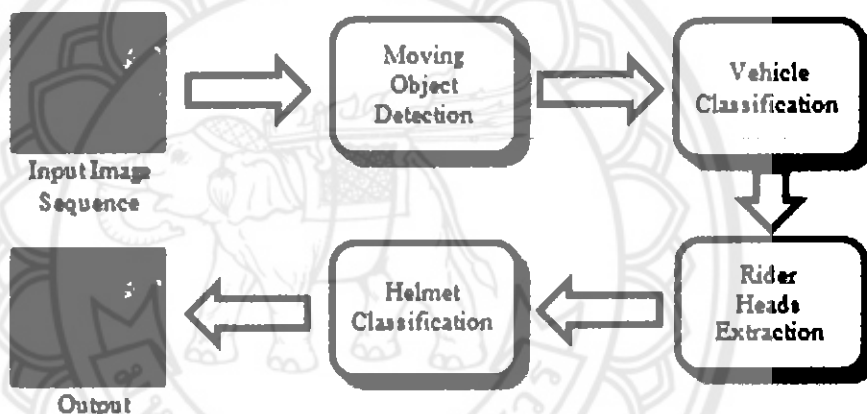
J.Chiverton [19] ได้เสนอวิธีการตรวจหมวดนิรภัยจากการแบ่งพื้นที่ของส่วนศีรษะออกเป็น 4 ส่วน โดยแต่ละส่วนจะคำนวณค่าของระดับสีระดับเทา และการเรียนรู้ของเครื่องจักร (machine learning) ในการแบ่งชื่อนุ่ลด์ต่อไป ซึ่งวิธีการดังกล่าว ให้ค่าความถูกต้องร้อยละ 85 และเป็นการใช้วิธีการตรวจสอบที่ naïve เสื่อถือ และทันสมัย แต่เนื่องจากการตรวจสอบเป็นการเก็บภาพจากด้านหลัง จึงไม่สามารถตรวจสอบรถจักรยานยนต์ที่มีผู้โดยสารมากกว่า 1 คนได้

บทที่ 3

วิธีการดำเนินโครงการ

ในการสร้างระบบตรวจจับหมวดนิรภัยของผู้ขับขี่รถจักรยานยนต์ เกิดจากการนำข้อมูลซึ่งเป็นการรับค่าจากวิดีโอโดยตรง หรือรับไฟล์วิดีโอเข้ามา นำไปประมวลผลภาพเพื่อให้เกิดผลลัพธ์ในบทนี้จะกล่าวถึงการออกแบบระบบ ไปจนถึงการพัฒนาระบบตรวจจับหมวดนิรภัยของผู้ขับขี่รถจักรยานยนต์

3.1 การออกแบบระบบตรวจจับหมวดนิรภัย



รูปที่ 3.1 การออกแบบระบบตรวจจับหมวดนิรภัยของผู้ขับขี่รถจักรยานยนต์

3.1.1 การรับภาพวิดีโอไปประมวลผล

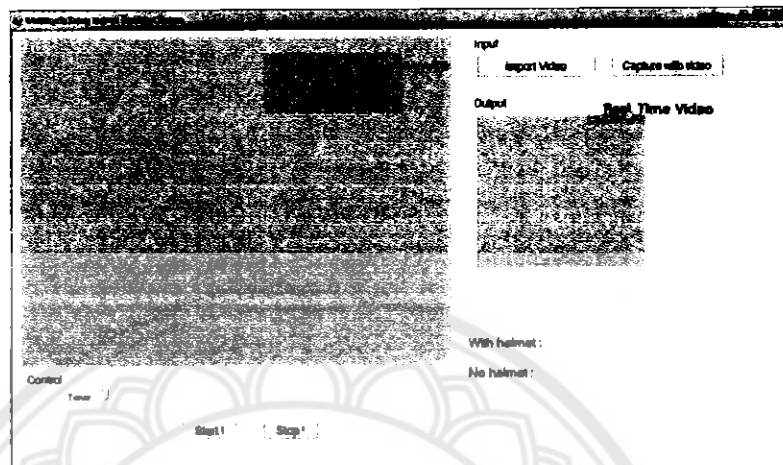
การรับภาพวิดีโอไปประมวลผลนั้น สามารถทำได้สองวิธีคือ การรับภาพจากกล้องวิดีโอโดยตรง และการรับไฟล์วิดีโอที่ถ่ายไว้แล้ว นำเข้าไปประมวลผลในระบบ

3.1.1.1 การรับภาพจากกล้องวิดีโอโดยตรง

สามารถทำได้โดยการเชื่อมต่อกล้องเว็บแคม (Webcam) ด้วยสาย USB (Universal Serial Bus) เพื่อรับภาพวิดีโอแล้วนำไปประมวลผลแบบทันที (Real Time) โดยกล้องเว็บแคมที่ใช้ถ่ายภาพเพื่อไปประมวลผล จะต้องตั้งอยู่ห่างจากคน 2.5 เมตร และสูงจากพื้นดิน 3 เมตร

3.1.1.2 การรับภาพจากไฟล์วิดีโอที่ถ่ายไว้แล้ว

สามารถทำได้จาก การเปิดไฟล์วิดีโอที่บันทึกไว้ในเครื่องคอมพิวเตอร์ที่มีระบบตรวจจับหมวดนิรภัยของผู้ขับขี่รถจักรยานยนต์อยู่แล้วเพื่อนำวิดีโอดังกล่าวไปประมวลผลดังรูปที่ 3.2



รูปที่ 3.2 การรับภาพวิดีโอไปประมวลผล

3.1.2 การตรวจจับวัตถุที่เคลื่อนไหว (Moving Object Detection)

เมื่อได้รับภาพหรือไฟล์วิดีโอนามแล้ว ต้องมีการตรวจจับความเคลื่อนไหวของวัตถุ เพื่อหาวัตถุที่เป็นขานพาหนะและกำลังเคลื่อนไหวอยู่ อันดับแรกของการตรวจจับวัตถุที่เคลื่อนไหวอยู่ ในวิดีโอด้วยการตัดพื้นหลังของวัตถุ (Background subtraction) ดังสมการที่ 1

$$\text{สมการที่ 1 : } |image(x,y) - acc(x,y)| > th$$

เมื่อ th คือ ค่าเข็มแบ่งของภาพ (Threshold)

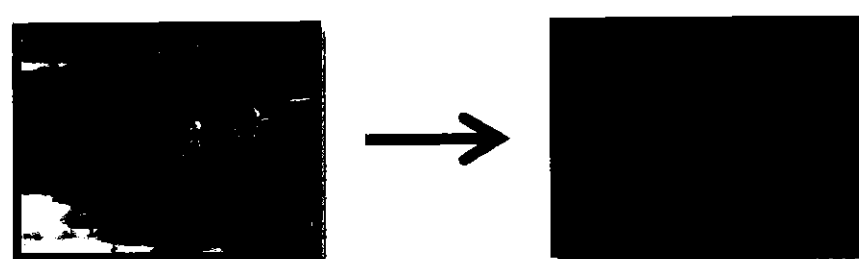
$acc(x,y)$ คือ ค่าเฉลี่ยของภาพพื้นหลังที่ตำแหน่ง (x,y)

$image(x,y)$ คือ ค่าระดับเทาของภาพในเฟรมปัจจุบันที่ตำแหน่ง (x,y)

$$\text{ตัวอย่าง } acc(x,y) = (1-\alpha) * acc(x,y) + \alpha * image(x,y)$$

เมื่อ α คือ ค่าอ่วงน้ำหนักของภาพ

เมื่อมีการตัดภาพพื้นหลังของวัตถุแล้ว จะได้ผลลัพธ์ดังรูปที่ 3.3



รูปที่ 3.3 การตัดภาพพื้นหลังของวัตถุ (Background subtraction)

การตัดภาพพื้นหลังด้วยวิธีข้างต้น จะส่งผลให้ภาพพื้นหลังมีความเปลี่ยนแปลงให้ทันตลอดในแต่ละช่วงเวลา เพราะมีการนำเอาภาพพื้นหลังในแต่ละช่วงมาหาค่าเฉลี่ย ทำให้สามารถประมวลผลภาพที่มีแสงสว่างไม่เท่ากันตลอดเวลา หรือมีสภาพแวดล้อมที่เปลี่ยนแปลงได้ หลังจาก การตัดภาพพื้นหลังของวัตถุแล้ว วัตถุเหล่านั้นย่อมมีลักษณะทางชนิด และมีสัญญาณรบกวน เช่น แสงเงาของใบไม้ เป็นต้น ใน การพัฒนาระบบตรวจจับหมวดนิรภัยของผู้ขับขี่รถจักรยานยนต์นั้น จะต้องแยกเฉพาะวัตถุที่เป็นรถจักรยานยนต์ออกจากเพียงอ่างเดียว เพื่อนำไปประมวลผลภาพ ใน ขั้นตอนแรกจึงมีการปรับปรุงคุณภาพภาพเพื่อตัดสัญญาณรบกวนออก ซึ่งในการพัฒนาระบบนี้ ได้ ตัดสัญญาณรบกวน โดยอาศัยหลักการ 2 หลักการ คือ การทำ Smoothing Filter ด้วยวิธี Simple Blur ดังรูปที่ 3.4



รูปที่ 3.4 การทำ Smoothing Filter ด้วยวิธี Simple Blur

และการทำ Threshold เพื่อให้กล้ายเป็นภาพไบนาเรีย (Binary) ดังรูปที่ 3.5 ซึ่งจะสังเกตได้ว่ารูปที่ได้มานั้นยังมีสัญญาณรบกวนขนาดเล็กๆ อยู่และยังไม่การนำไปประมวลผลภาพในขั้นต้อง คือไป จึงต้องกำจัดสัญญาณรบกวนที่มีอยู่ออก ด้วยการใช้การทำ Morphological



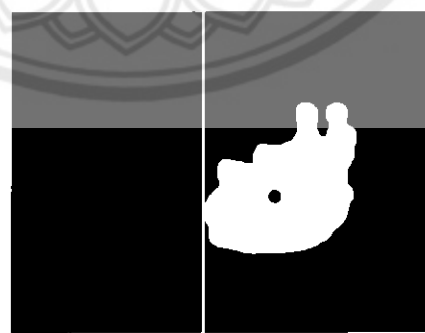
รูปที่ 3.5 การทำ Threshold เพื่อทำให้กล้ายเป็นภาพไบนาเรีย

โดยการทำ Morphological เพื่อกำจัดสัญญาณรบกวนในครั้งนี้ จะเริ่มต้นด้วยการกร่อนภาพ (Erosion) แล้วตามด้วยการเติมเต็มภาพ (Dilation) การทำสองวิธีต่อเนื่องกันแบบนี้จะมีข้อเรียกอีกอย่างว่า Morphological Closing ซึ่งมีคุณสมบัติในการกำจัดสัญญาณรบกวนและเติมเต็มช่องว่างของภาพดังรูปที่ 3.6



รูปที่ 3.6 การทำ Morphological Closing

หลังจากการกำจัดสัญญาณรบกวนภายในภาพออกไปแล้ว จะได้ภาพที่สามารถนำไปประมวลผลเพื่อตรวจจับวัตถุที่กำลังเคลื่อนไหวแล้วนำมาแยกวัตถุที่เป็นรถจักรยานยนต์ ซึ่งการตรวจจับวัตถุที่เคลื่อนไหวจะทำได้โดยสร้างเส้นสัมผัสมดิจิทัล (contour) ของพื้นที่สีขาวของจุดสีขาวที่มาสัมผัสเส้นสัมผัสมดิจิทัลก่อตัวจะทำให้ทราบว่าวัตถุที่ตรวจพบเคลื่อนที่มาจากทิศทางใด หรืออีกนัยหนึ่งคือเป็นวัตถุที่เคลื่อนที่ในช่องทางเดินรถซึ่งได้



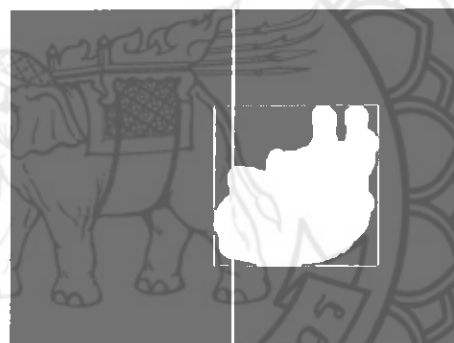
รูปที่ 3.7 สร้างเส้นสัมผัสมดิจิทัลเพื่อตรวจส่องวัตถุเคลื่อนไหวที่มาสัมผัสและทิศทางของการเดินรถ

จากรูปที่ 3.7 เมื่อมีการหาเส้นรอบของพื้นที่สีขาวที่สัมผัสเส้นสมมติแล้วจะทำการหาจุดศูนย์กลางมวล (จุดศีรีเดง) เพื่อตรวจสอบกับเส้นสมมติว่าวัตถุเคลื่อนที่มาจากทางด้านซ้าย หรือเคลื่อนที่มาจากทางด้านขวา

3.1.3 การแยกชนิดของยานพาหนะ (Vehicle Classification)

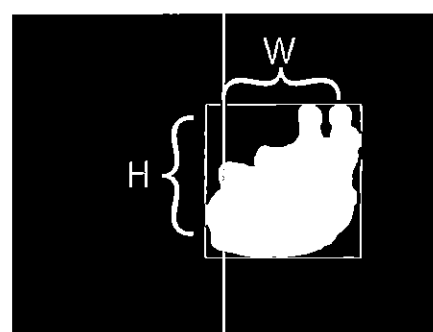
เมื่อตรวจจับวัตถุที่กำลังเคลื่อนไหวแล้ว ต้องตรวจสอบด้วยว่าวัตถุนั้นเป็นรถจักรยานยนต์หรือไม่ โดยในโครงงานดังกล่าวนี้ ผู้จัดทำได้ศึกษาและใช้คุณลักษณะดังต่อไปนี้ในการใช้เทคนิค K-Nearest Neighbor จำแนกวัตถุที่เป็นรถจักรยานยนต์และวัตถุอื่นๆ ซึ่งคุณลักษณะที่ใช้ในการจำแนกวัตถุดังกล่าว ได้แบ่งออกเป็น 3 คุณลักษณะดังนี้

3.1.3.1 พื้นที่ของสีเหลืองที่ครอบวัตถุ ดังรูปที่ 3.8 เพราะขนาดของรถจักรยานยนต์ย่อมมีขนาดเล็กกว่ารถบิน



รูปที่ 3.8 พื้นที่สีเหลืองที่ครอบวัตถุ

3.1.3.2 อัตราส่วนของความกว้างต่อกว้างสูงของวัตถุ ดังรูปที่ 3.9 เนื่องจากรถจักรยานยนต์มีความกว้างและความสูงใกล้เคียงกัน ดังนั้นอัตราส่วนความกว้างต่อกว้างสูงของรถจักรยานยนต์จะมีค่าเข้าใกล้กับเลข 1 ในขณะที่รถบินที่เร็ววัตถุอื่นๆ เช่น 乔丹 จะมีความกว้างและความสูงที่ค่อนข้างต่างกันโดยชัดเจน ทำให้มีอัตราส่วนที่ไม่เข้าใกล้กับเลข 1



รูปที่ 3.9 รูปแสดงความกว้าง และความสูงของวัตถุ

3.1.3.3 ส่วนนี้ยังเป็นมาตรฐานของค่าสีของวัตถุ ดังรูปที่ 3.10 ซึ่งการนำค่าสีของวัตถุ มาวิเคราะห์ จะนำเอาค่าสีเฉพาะชุดที่สนใจ คือบริเวณส่วนกลางของวัตถุ เนื่องจากค่าสีในบริเวณนี้ ถ้าหากเป็นสีของรถยนต์ จะมีความแตกต่างของค่าสีน้อยมาก เพราะรถยนต์ส่วนใหญ่จะมีสีเดียวกัน ทั้งคัน ทำให้ส่วนนี้ยังเป็นมาตรฐานของค่าสีมีค่าน้อย แต่ในขณะที่ในส่วนกลางของวัตถุที่เป็น รถจักรยานยนต์ จะมีค่าสีที่แตกต่างกันเนื่องจากมีสีของพื้นถนน ข้างของผู้โดยสาร หรือจากสีของรถ เช่น จึงทำให้ส่วนนี้ยังเป็นมาตรฐานของค่าสีค่อนข้างมาก



รูปที่ 3.10 รูปแสดงพื้นที่ (กรอบสีแดง) ที่ใช้คำนวนส่วนนี้ยังเป็นมาตรฐานของค่าสี

เมื่อได้คุณลักษณะทั้ง 3 คุณลักษณะแล้ว จะใช้เทคนิค K-Nearest Neighbor ในการจำแนกวัตถุ โดยจะจำแนกออกเป็น 2 ส่วน คือวัตถุที่เป็นรถจักรยานยนต์ และวัตถุอื่นๆ ดังรูปที่ 3.11 เพื่อนำเอาวัตถุที่เป็นรถจักรยานยนต์มาประมาณผลเพื่อตรวจสอบจำนวนผู้โดยสาร และแยกศีรษะของผู้โดยสารต่อไป

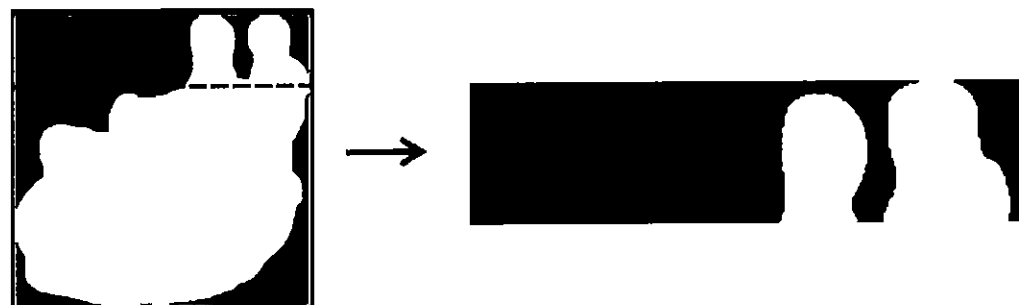


รูปที่ 3.11 การใช้เทคนิค K-Nearest Neighbor ในการจำแนกวัตถุที่เป็นรถจักรยานยนต์

3.1.4 การแยกศีรษะของผู้ขับขี่ออกจากรถจักรยานยนต์และการตรวจสอบจำนวนผู้โดยสาร (Rider Heads Extraction & Counting)

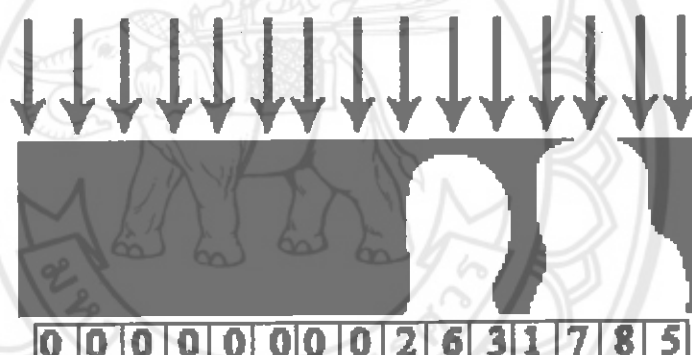
ในการแยกศีรษะของผู้ขับขี่ออกจากรถจักรยานยนต์ที่ตรวจสอบได้นั้น ผู้จัดทำต้องสมนติฐานไว้ว่า ศีรษะของผู้ขับขี่และผู้โดยสารจะอยู่บริเวณส่วนบนของพื้นที่ที่เป็นภาพ

รถจักรยานยนต์ ดังนั้นการแยกส่วนศีรษะออกมาราบทำได้โดยการตัดภาพ 25% ของส่วนบนภาพรถจักรยานยนต์ จากนั้นนำไปตรวจสอบจำนวนผู้โดยสาร ดังรูปที่ 3.12



รูปที่ 3.12 รูปที่เกิดจากการตัดภาพ 25% ของส่วนบนภาพรถจักรยานยนต์

การตรวจสอบจำนวนผู้โดยสารจะเริ่มด้วยการ โปรเจกชันตามแนวตั้ง (vertical projection) ดังรูปที่ 3.13



รูปที่ 3.13 ตัวอย่างการทำโปรเจกชันตามแนวตั้ง (vertical projection)

แล้วนำผลจากการ โปรเจกชันที่ได้มาคำนวณจำนวนคุณภาพรวมกัน คำนวณค่าเฉลี่ยเคลื่อนที่ (Moving Average) ที่มีขนาดเท่ากับ 5 ดังรูปที่ 3.14



รูปที่ 3.14 การคำนวณค่าเฉลี่ยเคลื่อนที่ (Moving Average)

จากนั้นคำนวณหา 45% ของความสูงของภาพไปร์เซกชัน แล้วตรวจสอบจากซ้ายไปขวา และจากขวาไปซ้ายเพื่อหาขอบเขตของการไปร์เซกชัน ดังรูปที่ 3.15



รูปที่ 3.15 การหาขอบเขตของการไปร์เซกชัน

จากนั้นคำนวณค่าเฉลี่ยของไปร์เซกชันเฉพาะบริเวณขอบเขตที่ได้ ดังรูปที่ 3.16



รูปที่ 3.16 เส้นแสดงตำแหน่งค่าเฉลี่ยของไปร์เซกชัน

เมื่อได้ค่าเฉลี่ยมาแล้ว เก็บจุดภาพที่ค่าเฉลี่ยนั้นไว้ในแطرัลเดบบ (Array) หลังจากนั้น ตรวจสอบการเปลี่ยนแปลงค่าใบหนารีที่อยู่ในแطرัลเดบบนั้น หากมีการเปลี่ยนแปลงค่าใบหนารี 2 ครั้ง แสดงว่ามีผู้ขับปืนเพียง 1 คน และถ้ามีการเปลี่ยนแปลงค่าใบหนารี 4 ครั้ง แสดงว่ามีทั้งผู้ขับปืนและผู้ซ่อน (2 คน) ดังรูปที่ 3.17



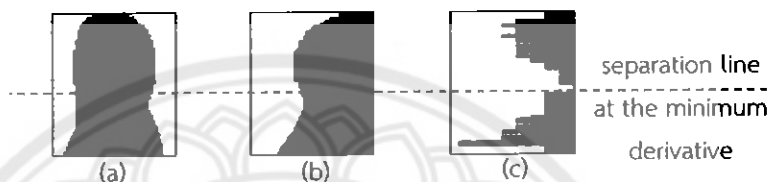
รูปที่ 3.17 การตรวจสอบการเปลี่ยนแปลงค่าใบหนารีในแطرัลเดบบ

3.1.4.1 การหาตำแหน่งศีรษะจากกรณีที่มีทั้งผู้ขับปืนและผู้ซ่อน (มี 2 คน)

หาจุดแบ่งระหว่างผู้ขับปืนและผู้ซ่อน โดยใช้หลักการของ Ostu Treshold คือการหาเส้นที่แบ่งจาก histogram (Histogram) ทั้งสองของจากทุกเส้นแบ่งที่เป็นไปได้ เพื่อตัดภาพออกเป็นสองส่วน โดยใช้เส้นแบ่งที่คำนวณได้แล้วนำไปคำนวณต่อในข้อ 3.1.4.2

3.1.4.2 การหาตำแหน่งศีรษะจากกรณีที่มีจำนวนผู้ขับขี่เพียง 1 คน

ทำการไปร์เจคชั่น เพื่อตรวจสอบจากซ้ายไปขวาไปซ้ายเพื่อหาความกว้างของศีรษะ จากนั้นคำนวณ First order derivative [(i+3)-(i)] โดยใช้ข้อมูลจากการไปร์เจคชั่นตามแนวอนอน (horizontal projection) แล้วเก็บค่าไว้ในแฉลามัดบัน (Array) ซึ่ง i คือลำดับในแฉลามัดบันถังกล่าว จากนั้นหาค่าที่น้อยที่สุดของแฉลามัดบันเป็นตำแหน่งตรงส่วนคอของศีรษะ เราจะได้พิกัดจุดบนซ้ายของภาพจากจุดแรกของการไปร์เจคชั่นจากซ้ายไปขวา ความกว้างของศีรษะ และความสูงของศีรษะจากระยะทางระหว่างจุดบนซ้ายกับตำแหน่งคอ



รูปที่ 3.18 a) Binary Image b) horizontal projection profiles c) First order derivative

เมื่อสามารถหาวัดถูกที่เป็นส่วนศีรษะ เดียวทำการแยกศีรษะของผู้ขับขี่และผู้ขับขอนออกจากกัน ได้แล้ว ในการที่จะทราบว่าผู้ขับขี่หรือผู้ขับขอนส่วนหนวนนรภกษยหรือไม่ จะต้องมีอัลกอริทึมในการประมวลผลภาพศีรษะที่ได้มา เพื่อจำแนกว่า ผู้ขับขี่และผู้ขับขอนส่วนหนวนนรภกษยหรือไม่ได้ส่วนหนวนนรภกษย หรือภาพที่ได้มานาจ ไม่ใช่ส่วนศีรษะจึงไม่สามารถประมวลผลได้ ซึ่งในการจำแนกหนวนนรภกษจะกล่าวไว้ในหัวข้อดังไป

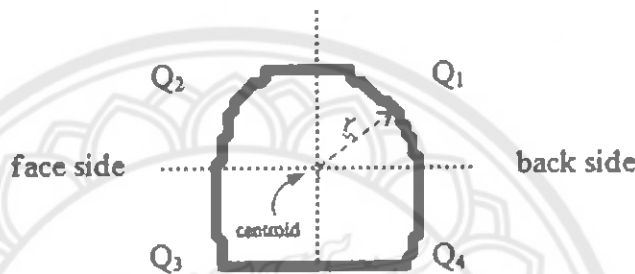
3.1.5 การจำแนกหนวนนรภกษ (Helmet Classification)

เมื่อรับภาพที่เป็นส่วนศีรษะของผู้ขับขี่หรือผู้ขับขอนมาแล้ว ภาพที่ได้มานั้นจะเป็นภาพใบหนารีที่เป็นส่วนศีรษะในลักษณะหันด้านข้าง ซึ่งต้องนำวิเคราะห์ว่า การที่จะจำแนกระหว่างศีรษะที่ส่วนหนวนนรภกษและศีรษะที่ไม่ได้ส่วนหนวนนรภกษาอกจากกัน มีคุณลักษณะใดบ้างที่มีความแตกต่างกันจนสามารถจำแนกออกมาก ได้ ซึ่งจากการวิเคราะห์คุณลักษณะ ศีรษะที่ส่วนหนวนนรภกษและไม่ส่วนหนวนนรภกษจะมีความแตกต่างกันดังนี้

- ศีรษะที่ส่วนหนวนนรภกษจะมีความกลมของศีรษะมากกว่าศีรษะที่ไม่ส่วนหนวนนรภกษ โดยเฉพาะด้านหลังส่วนบนของศีรษะ
- ศีรษะที่ส่วนหนวนนรภกษจะมีขนาดที่ค่อนข้างใหญ่กว่าศีรษะที่ไม่ส่วนหนวนนรภกษ
- เมื่อแปลงภาพเป็นภาพระดับเทา ค่าเฉลี่ยของค่าระดับเทาของศีรษะที่ส่วนหนวนนรภกษและไม่ส่วนหนวนนรภกษจะมีความแตกต่างกัน

- ศีรษะที่ไม่ส่วนหมวกนิรภัย จะเห็นส่วนของผิวนานั้นชัดเจน โดยเฉพาะส่วนหน้าด้านล่าง ในขณะที่ศีรษะที่ส่วนหมวกนิรภัย จะมีส่วนของหมวกนิรภัยล้ำเกินเข้ามาในส่วนหน้าด้านล่าง หรือมีกระบวนการของหมวกนิรภัยมานดบังหน้า

จากการวิเคราะห์ดังกล่าว สังเกตได้ว่า ในแต่ละส่วนของศีรษะนี้ จะมีคุณลักษณะแตกต่างกันออกไป จึงได้ทำการแบ่งศีรษะออกเป็น 4 ส่วน โดยคำนึงถึงทิศทางการเคลื่อนที่ของศีรษะว่ามาจากทางทิศใด เพื่อให้สามารถแบ่งศีรษะที่มาจากการเคลื่อนทิศทางกัน ให้เก็บค่าแต่ละส่วนไว้ในส่วนเดียวกันได้ ดังรูปที่ 3.19



รูปที่ 3.19 การแบ่งส่วนของศีรษะให้วัดถูกที่หันศีรษะต่างทิศกัน เก็บค่าในส่วนเดียวกัน

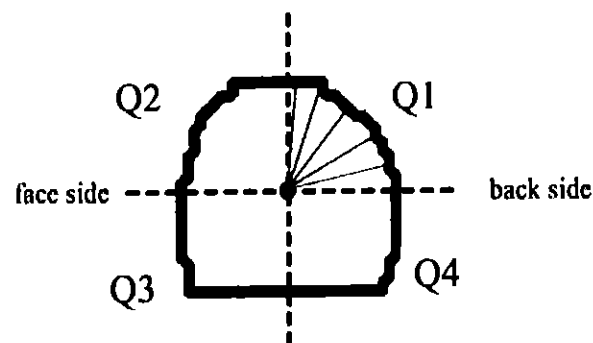
เมื่อแบ่งศีรษะออกเป็น 4 ส่วนแล้ว จะใช้คุณลักษณะในการจำแนกศีรษะที่ส่วนหมวกนิรภัย กับศีรษะที่ไม่ได้ส่วนหมวกนิรภัยทั้งหมด 9 คุณลักษณะด้วยกันคือ

3.1.5.1 ค่าเฉลี่ยหารด้วยส่วนเบี่ยงเบนมาตรฐาน (Average/S.D.) ของระยะทางจากจุดศูนย์กลางมวลไปยังเส้นรอบในส่วนที่ 1 (Q_1)

3.1.5.2 ค่าเฉลี่ยหารด้วยส่วนเบี่ยงเบนมาตรฐาน (Average/S.D.) ของระยะทางจากจุดศูนย์กลางมวลไปยังเส้นรอบในส่วนที่ 2 (Q_2)

3.1.5.3 ค่าเฉลี่ยหารด้วยส่วนเบี่ยงเบนมาตรฐาน (Average/S.D.) ของระยะทางจากจุดศูนย์กลางมวลไปยังเส้นรอบในส่วนที่ 3 (Q_3)

3.1.5.4 ค่าเฉลี่ยหารด้วยส่วนเบี่ยงเบนมาตรฐาน (Average/S.D.) ของระยะทางจากจุดศูนย์กลางมวลไปยังเส้นรอบในส่วนที่ 4 (Q_4)



**Compute mean/S.D. of distances
between the centroid and boundary**

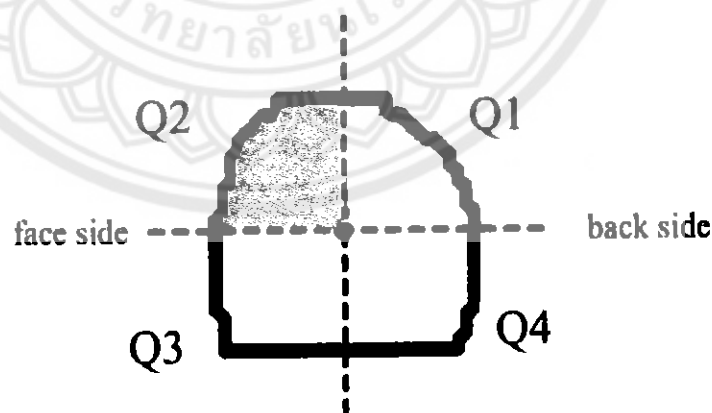
รูปที่ 3.20 ตัวอย่างของการหาระยะทางจากจุดศูนย์กลางมวลไปยังเส้นรอบในส่วนที่ 1 (Q_1)

3.1.5.5 ค่าเฉลี่ยของค่าระดับเทาในส่วนที่ 1 (Q_1)

3.1.5.6 ค่าเฉลี่ยของค่าระดับเทาในส่วนที่ 2 (Q_2)

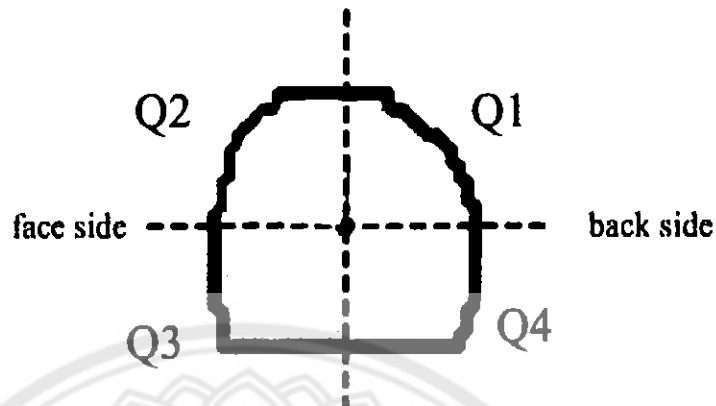
3.1.5.7 ค่าเฉลี่ยของค่าระดับเทาในส่วนที่ 3 (Q_3)

3.1.5.8 ค่าเฉลี่ยของค่าระดับเทาในส่วนที่ 4 (Q_4)



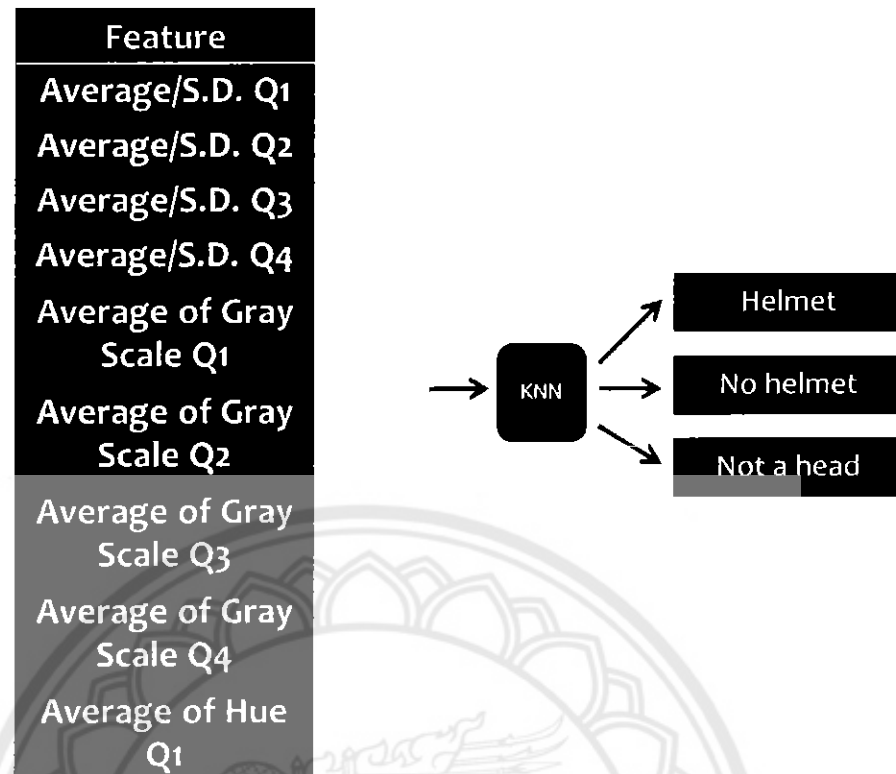
รูปที่ 3.21 ตัวอย่างของการหาค่าเฉลี่ยของค่าระดับเทาในส่วนที่ 2 (Q_2)

3.1.5.9 ค่าเฉลี่ยของค่าสีในส่วนที่ 3 (Q_3)



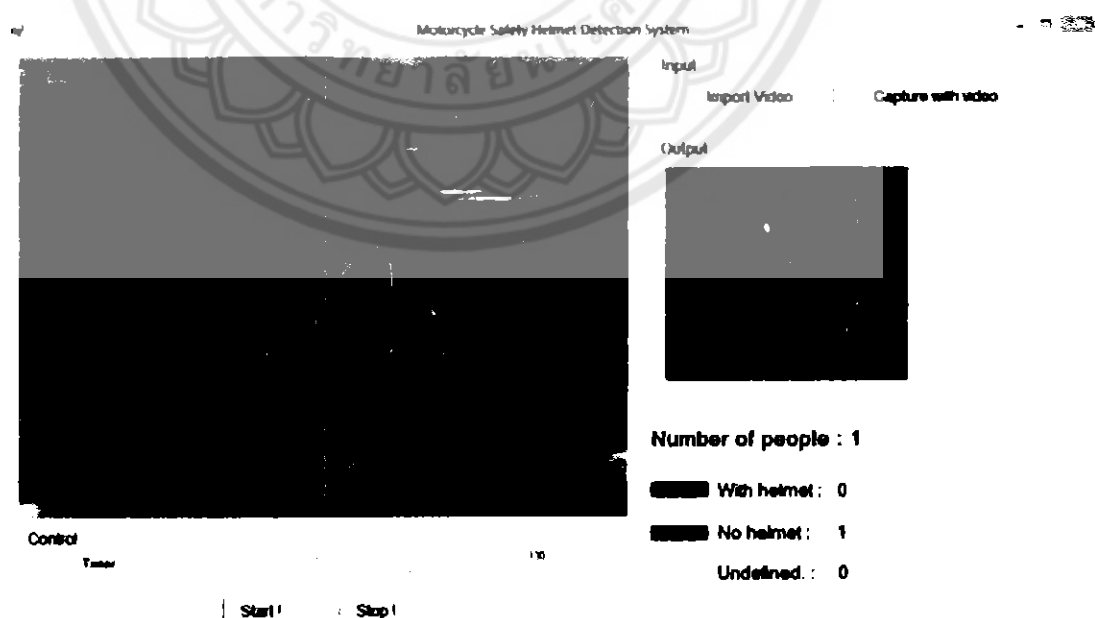
รูปที่ 3.22 ตัวอย่างของการหาค่าเฉลี่ยของค่าระดับเทาในส่วนที่ 3 (Q_3)

คุณลักษณะที่กล่าวมาก้างหน้าข้างต้นนี้ สามารถนำไปใช้ในการรับภาพจากส่วนของการแยกศีรษะเป็นสองภาพด้วยกันคือภาพใบหน้าและภาพสี จากนั้นจะมีการกร่อนภาพ (Erosion) ในส่วนของภาพใบหน้า แล้วทำการหาเส้นรอบพื้นที่ (Contour) และเลือกวัดถูกที่มีเส้นรอบพื้นที่มากที่สุดในภาพเพื่อหลีกเลี่ยงสัญญาณรบกวนที่อาจหลงเหลืออยู่ จากนั้นนำส่วนที่หาเส้นรอบได้ไปหาจุดศูนย์กลางมวล (Centroid) และนำภาพที่หาเส้นรอบมาแบ่งออกเป็น 4 ส่วนจากจุดศูนย์กลางมวล เพื่อกำนั่นระยะทางตามคุณลักษณะที่ 1-4 จากนั้นนำภาพสีแปลงให้เป็นภาพระดับเทาเพื่อนำเอาตำแหน่งที่คำนวณได้ในภาพใบหน้าไปคำนวณคุณลักษณะที่ 5-8 ในตำแหน่งเดียวกันที่ภาพระดับเทา และนำเอาภาพสีแปลงภาพให้อยู่ในระบบสี HSV เพื่อคำนวณคุณลักษณะที่ 9 จากนั้นเก็บค่าคุณลักษณะทั้ง 9 ส่วนนี้ไว้เพื่อนำไปใช้เป็นคุณลักษณะ (features) ในการทำการจำแนกภาพว่าเป็นคน或是หมากนิรภัย หรือไม่ใส่ ด้วยเทคนิค K-Nearest Neighbor เพื่อจำแนก โดยการจำแนกจะแบ่งออกเป็น 3 ส่วนด้วยกันคือ ศีรษะที่สวมหมากนิรภัย ศีรษะที่ไม่สวมหมากนิรภัย และที่ได้นำอาจไม่ใช่ส่วนศีรษะซึ่งไม่สามารถประมวลผลได้ ดังรูปที่ 3.23



รูปที่ 3.23 การใช้เทคนิค K-Nearest Neighbor เพื่อจำแนกหมวดนิรภัย

เมื่อใช้เทคนิค K-Nearest Neighbor จำแนกหมวดนิรภัยออกมาแล้วจะได้ผลลัพธ์ซึ่งจะแสดงในหน้าต่าง GUI (Graphic User Interface) ดังรูปที่ 3.24



รูปที่ 3.24 รูปแสดงผลลัพธ์ของระบบตรวจจับหมวดนิรภัยของผู้ขับขี่รถจักรยานยนต์

3.2 การเก็บผลลัพธ์

เมื่อพัฒนาระบบตรวจจับหมวดนิรภัยของผู้ขับขี่รถจักรยานยนต์สำเร็จแล้ว ต้องมีการบันทึกผลลัพธ์ไว้เพื่อเป็นประวัตินอกเจ้าหน้าที่ ในการนำไปใช้งาน หรือเก็บไว้เป็นหลักฐาน ดังรูปที่ 3.25 ซึ่งแสดงการเก็บข้อมูลไว้ในไฟล์ โดยมีรายละเอียดดังนี้

3.2.1 ลำดับที่ของเฟรมวิดีโอ

3.2.2 วันที่ทำการบันทึก

3.2.3 เวลาที่บันทึก

3.2.4 จำนวนผู้โดยสารบนรถจักรยานยนต์คันที่บันทึก

3.2.5 จำนวนผู้สวมหมวกนิรภัย

3.2.6 จำนวนผู้ที่ไม่สวมหมวกนิรภัย

3.2.7 จำนวนของภาพศีรษะที่ไม่สามารถประมวลผลได้

| FrameCount | Date | Time | Number of people | Have helmet | No helmet | etc. |
|------------|----------|------|------------------|-------------|-----------|------|
| 101 | 7/2/2013 | 2.28 | 1 | 1 | 0 | 0 |
| 235 | 7/2/2013 | 2.28 | 1 | 0 | 1 | 0 |
| 549 | 7/2/2013 | 2.28 | 2 | 1 | 0 | 1 |
| 640 | 7/2/2013 | 2.28 | 1 | 1 | 0 | 0 |
| 700 | 7/2/2013 | 2.28 | 2 | 0 | 0 | 2 |
| 737 | 7/2/2013 | 2.28 | 2 | 2 | 0 | 0 |
| 799 | 7/2/2013 | 2.28 | 1 | 0 | 1 | 0 |

รูปที่ 3.25 แสดงการเก็บข้อมูลไว้ใน Log File

โดยผลลัพธ์จากการตรวจจับหมวดนิรภัยในแต่ละครั้ง สามารถนำไปเป็นสถิติของในแต่ละสถานที่ ว่ามีผู้ที่ขับรถจักรยานยนต์จำนวนมากหรือไม่ ส่วนหมวกนิรภัยมากหรือน้อย สามารถนำไปวิเคราะห์สถิติของการเกิดอุบัติเหตุในแต่ละท้องที่ เพื่อหามาตรการป้องกันต่อไปได้อีกด้วย

บทที่ 4

ผลการทดลอง

การทดลองระบบตรวจจับหมวดนิรภัยของผู้ขับขี่รถจักรยานยนต์ จะทำการทดลองโดยแบ่งออกเป็น 3 ส่วนด้วยกัน คือ การจำแนกวัตถุที่เป็นรถจักรยานยนต์ การแยกจำนวนศีรษะผู้โดยสาร และการตรวจจับหมวดนิรภัย ซึ่งมีรายละเอียดดังต่อไปนี้

4.1 ผลการทดลองการจำแนกวัตถุที่เป็นรถจักรยานยนต์

ในการทดลองการจำแนกวัตถุที่เป็นรถจักรยานยนต์ ใช้ข้อมูลในการทดลองทั้งหมด 341 ข้อมูล ใช้คุณลักษณะในการจำแนกข้อมูล 3 คุณลักษณะด้วยกันคือ พื้นที่ของสีเหลี่ยมที่ครอบวัตถุ อัตราส่วนของความกว้างและความสูงของวัตถุ และส่วนเบี่ยงเบนมาตรฐานของค่าสี (Hue) ของวัตถุ โดยการทดลองใช้เทคนิคเกณฑ์ nearest neighbor (K Nearest Neighbor) ในการจำแนกคุณลักษณะ ซึ่งจำแนกออกเป็นรถจักรยานยนต์และวัตถุอื่น ในการทดลองได้ทำการปรับค่า K ตั้งแต่ 1 – 11 (เฉพาะเลขคี่) เพื่อตรวจสอบค่าความถูกต้อง

ที่ K เป็น 1 ให้ผลการทดลองดังนี้

ตารางที่ 4.1 ผลการทดลองการจำแนกวัตถุที่เป็นรถจักรยานยนต์ที่ K เป็น 1

| Actual class (%) | Predicted class (%) | |
|------------------|---------------------|-------|
| | Motorcycle | Other |
| Motorcycle | 95.92 | 10.42 |
| Other | 4.08 | 89.58 |

ดังนั้น ผลการจำแนกวัตถุที่เป็นรถจักรยานยนต์ที่ K เป็น 1 ให้ค่าความถูกต้องถึง 94.13% ที่ K เป็น 3 ให้ผลการทดลองดังนี้

ตารางที่ 4.2 ผลการทดลองการจำแนกวัตถุที่เป็นรถจักรยานยนต์ที่ K เป็น 3

| Actual class (%) | Predicted class (%) | |
|------------------|---------------------|-------|
| | Motorcycle | Other |
| Motorcycle | 95.98 | 6.52 |
| Other | 4.02 | 93.48 |

ดังนั้น ผลการจำแนกวัตถุที่เป็นรถจักรยานยนต์ที่ K เป็น 3 ให้ค่าความถูกต้องถึง 95.31% ที่ K เป็น 5 ให้ผลการทดสอบดังนี้

ตารางที่ 4.3 ผลการทดสอบการจำแนกวัตถุที่เป็นรถจักรยานยนต์ที่ K เป็น 5

| Actual class (%) | Predicted class (%) | |
|------------------|---------------------|-------|
| | Motorcycle | Other |
| Motorcycle | 95.55 | 9.57 |
| Other | 4.45 | 90.43 |

ดังนั้น ผลการจำแนกวัตถุที่เป็นรถจักรยานยนต์ที่ K เป็น 5 ให้ค่าความถูกต้องถึง 94.13% ที่ K เป็น 7 ให้ผลการทดสอบดังนี้

ตารางที่ 4.4 ผลการทดสอบการจำแนกวัตถุที่เป็นรถจักรยานยนต์ที่ K เป็น 7

| Actual class (%) | Predicted class (%) | |
|------------------|---------------------|-------|
| | Motorcycle | Other |
| Motorcycle | 95.16 | 9.68 |
| Other | 4.84 | 90.32 |

ดังนั้น ผลการจำแนกวัตถุที่เป็นรถจักรยานยนต์ที่ K เป็น 7 ให้ค่าความถูกต้องถึง 93.84% ที่ K เป็น 9 ให้ผลการทดสอบดังนี้

ตารางที่ 4.5 ผลการทดสอบการจำแนกวัตถุที่เป็นรถจักรยานยนต์ที่ K เป็น 9

| Actual class (%) | Predicted class (%) | |
|------------------|---------------------|-------|
| | Motorcycle | Other |
| Motorcycle | 95.93 | 9.47 |
| Other | 4.07 | 90.53 |

ดังนั้น ผลการจำแนกวัตถุที่เป็นรถจักรยานยนต์ที่ K เป็น 9 ให้ค่าความถูกต้องถึง 94.43% ที่ K เป็น 11 ให้ผลการทดสอบดังนี้

ตารางที่ 4.6 ผลการทดสอบการจำแนกวัตถุที่เป็นรถจักรยานยนต์ที่ K เป็น 11

| Actual class (%) | Predicted class (%) | |
|------------------|---------------------|-------|
| | Motorcycle | Other |
| Motorcycle | 95.95 | 8.51 |
| Other | 4.05 | 91.49 |

ดังนั้น ผลการจำแนกวัตถุที่เป็นรถจักรยานยนต์ที่ K เป็น 11 ให้ค่าความถูกต้องถึง 94.72% ผลจากการทดสอบพบว่า ที่ค่า K เป็น 11 ให้ผลการทดสอบที่ดีที่สุด 94.72% โดยใช้คุณลักษณะทั้งหมด 3 คุณลักษณะคือ พื้นที่ของสีเหลืองที่ครอบวัตถุ อัตราส่วนของความกว้างและความสูงของวัตถุ และส่วนเบี่ยงเบนมาตรฐานของค่าสี (Hue) ของวัตถุ

4.2 ผลการทดสอบการแยกจำนวนศีรษะผู้โดยสาร

ในการทดสอบการแยกจำนวนศีรษะผู้โดยสาร ใช้ข้อมูลในการทดสอบทั้งหมด 828 ข้อมูล แล้วจำแนกออกเป็น 3 กลุ่ม คือ มีผู้ขับขี่เพียงคนเดียว (1 คน) มีทั้งผู้ขับขี่และผู้ซ้อน (2 คน) และมีทั้งผู้ขับขี่และผู้ซ้อนมากกว่า 1 คน (3 คนขึ้นไป) โดยโปรแกรมสามารถตรวจสอบ แล้วให้ผลการทดสอบดังนี้

ตารางที่ 4.7 ผลการทดสอบการแยกจำนวนศีรษะผู้โดยสาร

| Actual class (%) | Predicted class (%) | | |
|------------------|---------------------|-------|----------|
| | 1 | 2 | ≥ 3 |
| 1 | 81.10 | 0.97 | 0 |
| 2 | 17.45 | 91.79 | 0 |
| ≥ 3 | 1.45 | 7.25 | 100 |

ดังนั้น ผลการทดสอบการแยกจำนวนศีรษะผู้โดยสาร ให้ค่าความถูกต้องถึง 83.82%

4.3 ผลการทดสอบการตรวจจับหมวดนิรภัย

ในการทดสอบการตรวจจับหมวดนิรภัย แบ่งการทดสอบออกเป็น 4 ส่วน คือ การทดสอบจากอัลกอริทึมที่ใช้กับภาพที่สมบูรณ์ การทดสอบจากข้อมูลจริงเฉพาะเลนไกลกเล็อง การทดสอบจากข้อมูลจริงเฉพาะเลนไกลกเล็อง และการทดสอบจากข้อมูลจริงรวมกันทั้ง 2 เลน ทำการทดสอบโดยใช้เทคนิคเคลื่อนยเรสต์เนบอร์ (K Nearest Neighbor) ในการจำแนกกลุ่มข้อมูล ซึ่งจำแนกออกเป็น

สวนหนวนนิรภัย ไม่สวนหนวนนิรภัย และไม่เข้าพวກ และใช้คุณลักษณะที่ผ่านการคัดเลือกคุณลักษณะ (Attribute Selection) ในการทดลองได้ทำการปรับค่า K ตั้งแต่ 1 – 11 (เฉพาะเลขคี่) เพื่อตรวจสอบค่าความถูกต้อง

4.3.1 การทดลองจากอัลกอริทึมที่ใช้กับภาพที่สมบูรณ์

ในการทดลองจากอัลกอริทึมที่ใช้กับภาพที่สมบูรณ์ ใช้ข้อมูลภาพที่สมบูรณ์ในการทดลองทั้งหมด 220 ข้อมูล ผ่านการคัดเลือกคุณลักษณะก่อนการใช้เทคนิคเกณฑ์เบอร์ จำแนกข้อมูล ได้คุณลักษณะที่จำเป็นทั้งหมด 6 คุณลักษณะคือ Average/S.D. ของ Quadrant ที่ 1 และ 2 ก่าเฉลี่ยของค่าสี และค่าเฉลี่ยของค่าระดับเทา Quadrant ที่ 1 – 3

ที่ค่า K เป็น 1 ให้ผลการทดลองดังนี้

ตารางที่ 4.8 ผลการทดลองจากอัลกอริทึมที่ใช้กับภาพที่สมบูรณ์ที่ K เป็น 1

| Actual class (%) | Predicted class (%) | |
|------------------|---------------------|-----------|
| | helmet | no helmet |
| helmet | 81.58 | 16.04 |
| no helmet | 18.42 | 83.96 |

ดังนั้น ผลการทดลองการแยกหนวนนิรภัยจากอัลกอริทึมที่ใช้กับภาพที่สมบูรณ์ที่ K เป็น 1 ให้ค่าความถูกต้องถึง 82.73%
ที่ค่า K เป็น 3 ให้ผลการทดลองดังนี้

ตารางที่ 4.9 ผลการทดลองจากอัลกอริทึมที่ใช้กับภาพที่สมบูรณ์ที่ K เป็น 3

| Actual class (%) | Predicted class (%) | |
|------------------|---------------------|-----------|
| | helmet | no helmet |
| helmet | 84.21 | 13.21 |
| no helmet | 15.79 | 86.79 |

ดังนั้น ผลการทดลองการแยกหนวนนิรภัยจากอัลกอริทึมที่ใช้กับภาพที่สมบูรณ์ที่ K เป็น 3 ให้ค่าความถูกต้องถึง 85.45%
ที่ค่า K เป็น 5 ให้ผลการทดลองดังนี้

ตารางที่ 4.10 ผลการทดสอบจากอัลกอริทึมที่ใช้กับภาพที่สมบูรณ์ที่ K เป็น 5

| Actual class (%) | Predicted class (%) | |
|------------------|---------------------|-----------|
| | helmet | no helmet |
| helmet | 85.84 | 12.15 |
| no helmet | 14.16 | 87.85 |

ดังนั้น ผลการทดสอบการแยกหมวดวัสดุจากอัลกอริทึมที่ใช้กับภาพที่สมบูรณ์ที่ K เป็น 5 ให้ค่าความถูกต้องถึง 86.82%
ที่ค่า K เป็น 7 ให้ผลการทดสอบดังนี้

ตารางที่ 4.11 ผลการทดสอบจากอัลกอริทึมที่ใช้กับภาพที่สมบูรณ์ที่ K เป็น 7

| Actual class (%) | Predicted class (%) | |
|------------------|---------------------|-----------|
| | helmet | no helmet |
| helmet | 84.56 | 13.08 |
| no helmet | 15.04 | 86.92 |

ดังนั้น ผลการทดสอบการแยกหมวดวัสดุจากอัลกอริทึมที่ใช้กับภาพที่สมบูรณ์ที่ K เป็น 7 ให้ค่าความถูกต้องถึง 85.91%
ที่ค่า K เป็น 9 ให้ผลการทดสอบดังนี้

ตารางที่ 4.12 ผลการทดสอบจากอัลกอริทึมที่ใช้กับภาพที่สมบูรณ์ที่ K เป็น 9

| Actual class (%) | Predicted class (%) | |
|------------------|---------------------|-----------|
| | helmet | no helmet |
| helmet | 85.22 | 11.43 |
| no helmet | 14.78 | 88.57 |

ดังนั้น ผลการทดสอบการแยกหมวดวัสดุจากอัลกอริทึมที่ใช้กับภาพที่สมบูรณ์ที่ K เป็น 9 ให้ค่าความถูกต้องถึง 86.82%
ที่ค่า K เป็น 11 ให้ผลการทดสอบดังนี้

ตารางที่ 4.13 ผลการทดสอบจากอัลกอริทึมที่ใช้กับภาพที่สมบูรณ์ที่ K เป็น 11

| Actual class (%) | Predicted class (%) | |
|------------------|---------------------|-----------|
| | helmet | no helmet |
| helmet | 87.07 | 8.65 |
| no helmet | 12.93 | 91.35 |

ดังนั้น ผลการทดสอบการแยกหมวดวักริบบ์จากอัลกอริทึมที่ใช้กับภาพที่สมบูรณ์ที่ K เป็น 11 ให้ค่าความถูกต้องถึง 89.09%

ผลจากการทดสอบพบว่า ที่ค่า K เป็น 11 ให้ผลการทดสอบที่ดีที่สุดโดยใช้คุณลักษณะทั้งหมด 6 คุณลักษณะคือ Average/S.D. ของ Quadrant ที่ 1 และ 2 ค่าเฉลี่ยของคาสิ และค่าเฉลี่ยของค่าระดับเทา Quadrant ที่ 1 – 3

4.3.2 การทดสอบจากข้อมูลจริงเฉพาะเลนไกลกล้อง

ในการทดสอบจากข้อมูลจริงเฉพาะเลนไกลกล้อง ใช้ข้อมูลจริงในการทดสอบทั้งหมด 129 ข้อมูล ผ่านการคัดเลือกคุณลักษณะก่อนการใช้เทคนิคเครื่องเรศต์เนเบอร์จำแนกข้อมูล ได้คุณลักษณะที่จำเป็นทั้งหมด 3 คุณลักษณะคือ Average/S.D. ของ Quadrant ที่ 1 3 และ 4

ที่ค่า K เป็น 1 ให้ผลการทดสอบดังนี้

ตารางที่ 4.14 ผลการทดสอบจากข้อมูลจริงเฉพาะเลนไกลกล้องที่ค่า K เป็น 1

| Actual class (%) | Predicted class (%) | | |
|------------------|---------------------|-----------|------------|
| | helmet | no helmet | not a head |
| helmet | 35.14 | 44.00 | 9.52 |
| no helmet | 51.35 | 42.00 | 11.90 |
| not a head | 13.51 | 14.00 | 78.57 |

ดังนั้น ผลการทดสอบการแยกหมวดวักริบบ์จากข้อมูลจริงเฉพาะเลนไกลกล้องที่ K เป็น 1 ให้ค่าความถูกต้องถึง 51.94%

ที่ค่า K เป็น 3 ให้ผลการทดสอบดังนี้

ตารางที่ 4.15 ผลการทดสอบจากข้อมูลจริงเฉพาะเลนไกลกส่องที่ค่า K เป็น 3

| Actual class (%) | Predicted class (%) | | |
|------------------|---------------------|-----------|------------|
| | helmet | no helmet | not a head |
| helmet | 45.65 | 38.10 | 4.88 |
| no helmet | 43.49 | 50.00 | 9.76 |
| not a head | 10.87 | 11.90 | 85.37 |

ดังนั้น ผลการทดสอบการแยกหมวดวันนิรภัยจากข้อมูลจริงเฉพาะเลนไกลกส่องที่ K เป็น 3 ให้ค่าความถูกต้องถึง 59.69%
ที่ค่า K เป็น 5 ให้ผลการทดสอบดังนี้

ตารางที่ 4.16 ผลการทดสอบจากข้อมูลจริงเฉพาะเลนไกลกส่องที่ค่า K เป็น 5

| Actual class (%) | Predicted class (%) | | |
|------------------|---------------------|-----------|------------|
| | helmet | no helmet | not a head |
| helmet | 50.91 | 31.25 | 2.38 |
| no helmet | 38.18 | 62.50 | 9.52 |
| not a head | 10.91 | 6.25 | 88.10 |

ดังนั้น ผลการทดสอบการแยกหมวดวันนิรภัยจากข้อมูลจริงเฉพาะเลนไกลกส่องที่ K เป็น 5 ให้ค่าความถูกต้องถึง 65.89%
ที่ค่า K เป็น 7 ให้ผลการทดสอบดังนี้

ตารางที่ 4.17 ผลการทดสอบจากข้อมูลจริงเฉพาะเลนไกลกส่องที่ค่า K เป็น 7

| Actual class (%) | Predicted class (%) | | |
|------------------|---------------------|-----------|------------|
| | helmet | no helmet | not a head |
| helmet | 48.89 | 36.59 | 4.65 |
| no helmet | 37.78 | 58.54 | 9.30 |
| not a head | 13.33 | 4.89 | 86.05 |

ดังนั้น ผลการทดลองการแยกหมวดนิรภัยจากข้อมูลจริงเฉพาะเล่นไก่กล้องที่ K เป็น 7 ให้ค่าความถูกต้องถึง 64.34%
ที่ค่า K เป็น 9 ให้ผลการทดลองดังนี้

ตารางที่ 4.18 ผลการทดลองจากข้อมูลจริงเฉพาะเล่นไก่กล้องที่ค่า K เป็น 9

| Actual class (%) | Predicted class (%) | | |
|------------------|---------------------|-----------|------------|
| | helmet | no helmet | not a head |
| helmet | 48.72 | 40.00 | 4.44 |
| no helmet | 38.46 | 55.56 | 11.11 |
| not a head | 12.82 | 4.44 | 84.44 |

ดังนั้น ผลการทดลองการแยกหมวดนิรภัยจากข้อมูลจริงเฉพาะเล่นไก่กล้องที่ K เป็น 9 ให้ค่าความถูกต้องถึง 63.57%
ที่ค่า K เป็น 11 ให้ผลการทดลองดังนี้

ตารางที่ 4.19 ผลการทดลองจากข้อมูลจริงเฉพาะเล่นไก่กล้องที่ K เป็น 11

| Actual class (%) | Predicted class (%) | | |
|------------------|---------------------|-----------|------------|
| | helmet | no helmet | not a head |
| helmet | 57.89 | 32.61 | 4.44 |
| no helmet | 31.58 | 60.87 | 11.11 |
| not a head | 10.53 | 6.52 | 84.44 |

ดังนั้น ผลการทดลองการแยกหมวดนิรภัยจากข้อมูลจริงเฉพาะเล่นไก่กล้องที่ K เป็น 11 ให้ค่าความถูกต้องถึง 68.22%
ผลจากการทดลองพบว่า ที่ค่า K เป็น 11 ให้ผลการทดลองที่ดีที่สุด 68.22% โดยใช้คุณลักษณะทั้งหมด 3 คุณลักษณะคือ Average/S.D. ของ Quadrant ที่ 1 3 และ 4

4.3.3 การทดลองจากข้อมูลจริงเฉพาะเล่นไก่สักล้อง

ในการทดลองจากข้อมูลจริงเฉพาะเล่นไก่สักล้อง ใช้ข้อมูลจริงในการทดลองทั้งหมด 219 ข้อมูล ผ่านการคัดเลือกคุณลักษณะก่อนการใช้เทคนิคเครื่องเรศต์เนเบอร์จำแนกข้อมูล ได้คุณลักษณะที่จำเป็นทั้งหมด 7 คุณลักษณะคือ Average/S.D. ของ Quadrant ที่ 1 – 4 ค่าเฉลี่ยของค่าเส และค่าเฉลี่ยของค่าระดับเทาของ Quadrant ที่ 1 และ 2

ที่ค่า K เป็น 1 ให้ผลการทดลองดังนี้

ตารางที่ 4.20 ผลการทดลองจากข้อมูลจริงเฉพาะเล่นไก่สักล้องที่ K เป็น 1

| Actual class (%) | Predicted class (%) | | |
|------------------|---------------------|-----------|------------|
| | helmet | no helmet | not a head |
| helmet | 77.97 | 20.48 | 5.19 |
| no helmet | 16.95 | 69.88 | 10.39 |
| not a head | 5.08 | 9.64 | 84.42 |

ดังนั้น ผลการทดลองการแยกหมวดนิรภัยจากข้อมูลจริงเฉพาะเล่นไก่สักล้องที่ K เป็น 1 ให้ค่าความถูกต้องถึง 77.17%
ที่ค่า K เป็น 3 ให้ผลการทดลองดังนี้

ตารางที่ 4.21 ผลการทดลองจากข้อมูลจริงเฉพาะเล่นไก่สักล้องที่ K เป็น 3

| Actual class (%) | Predicted class (%) | | |
|------------------|---------------------|-----------|------------|
| | helmet | no helmet | not a head |
| helmet | 76.47 | 14.67 | 5.26 |
| no helmet | 19.12 | 76.00 | 7.89 |
| not a head | 4.41 | 9.33 | 86.84 |

ดังนั้น ผลการทดลองการแยกหมวดนิรภัยจากข้อมูลจริงเฉพาะเล่นไก่สักล้องที่ K เป็น 3 ให้ค่าความถูกต้องถึง 79.91%
ที่ค่า K เป็น 5 ให้ผลการทดลองดังนี้

ตารางที่ 4.22 ผลการทดสอบจากข้อมูลจริงเฉพาะเลนไกล์กส่องที่ K เป็น 5

| Actual class (%) | Predicted class (%) | | |
|------------------|---------------------|-----------|------------|
| | helmet | no helmet | not a head |
| helmet | 80.00 | 15.58 | 3.90 |
| no helmet | 15.38 | 80.52 | 5.19 |
| not a head | 4.62 | 3.90 | 90.91 |

ดังนั้น ผลการทดสอบการแยกหมวดนิรภัยจากข้อมูลจริงเฉพาะเลนไกล์กส่อง ให้ค่าความถูกต้องถึง 84.02%

ที่ค่า K เป็น 7 ให้ผลการทดสอบดังนี้

ตารางที่ 4.23 ผลการทดสอบจากข้อมูลจริงเฉพาะเลนไกล์กส่องที่ K เป็น 7

| Actual class (%) | Predicted class (%) | | |
|------------------|---------------------|-----------|------------|
| | helmet | no helmet | not a head |
| helmet | 76.12 | 18.92 | 2.56 |
| no helmet | 17.91 | 77.03 | 8.97 |
| not a head | 5.97 | 4.05 | 88.46 |

ดังนั้น ผลการทดสอบการแยกหมวดนิรภัยจากข้อมูลจริงเฉพาะเลนไกล์กส่องที่ K เป็น 7 ให้ค่าความถูกต้องถึง 80.82%

ที่ค่า K เป็น 9 ให้ผลการทดสอบดังนี้

ตารางที่ 4.24 ผลการทดสอบจากข้อมูลจริงเฉพาะเลนไกล์กส่องที่ K เป็น 9

| Actual class (%) | Predicted class (%) | | |
|------------------|---------------------|-----------|------------|
| | helmet | no helmet | not a head |
| helmet | 77.14 | 15.28 | 2.60 |
| no helmet | 18.57 | 79.17 | 7.79 |
| not a head | 4.29 | 5.56 | 89.61 |

ดังนั้น ผลการทดสอบการแยกหมวดนิรภัยจากข้อมูลจริงเฉพาะเลนไกล์สีองที่ K เป็น 9 ให้ค่าความถูกต้องถึง 82.19%
ที่ค่า K เป็น 11 ให้ผลการทดสอบดังนี้

ตารางที่ 4.25 ผลการทดสอบจากข้อมูลจริงเฉพาะเลนไกล์สีองที่ K เป็น 11

| Actual class (%) | Predicted class (%) | | |
|------------------|---------------------|-----------|------------|
| | helmet | no helmet | not a head |
| helmet | 79.69 | 18.18 | 2.56 |
| no helmet | 17.19 | 75.32 | 8.97 |
| not a head | 3.13 | 6.49 | 88.46 |

ดังนั้น ผลการทดสอบการแยกหมวดนิรภัยจากข้อมูลจริงเฉพาะเลนไกล์สีองที่ K เป็น 11 ให้ค่าความถูกต้องถึง 81.28%

ผลจากการทดสอบพบว่า ที่ค่า K เป็น 5 ให้ผลการทดสอบที่ดีที่สุด 84.02% โดยใช้คุณลักษณะทั้งหมด 7 คุณลักษณะคือ Average/S.D. ของ Quadrant ที่ 1 – 4 ค่าเฉลี่ยของค่าสี และค่าเฉลี่ยของค่าระดับเทาของ Quadrant ที่ 1 และ 2

4.3.4 การทดสอบจากข้อมูลจริงรวมกันทั้ง 2 เลน

ในการทดสอบจากข้อมูลจริงรวมกันทั้ง 2 เลน ใช้ข้อมูลจริงในการทดสอบทั้งหมด 348 ข้อมูล ผ่านการคัดเลือกคุณลักษณะก่อนการใช้เทคนิคเกนี่เรสต์เบอร์จำแนกข้อมูล ได้คุณลักษณะที่จำเป็นทั้งหมด 8 คุณลักษณะคือ Average/S.D. ของ Quadrant ที่ 1 – 4 ค่าเฉลี่ยของค่าสี และค่าเฉลี่ยของค่าระดับเทาของ Quadrant ที่ 1 2 และ 4

ที่ค่า K เป็น 1 ให้ผลการทดสอบดังนี้

ตารางที่ 4.26 ผลการทดสอบจากข้อมูลจริงรวมกันทั้ง 2 เลนที่ K เป็น 1

| Actual class (%) | Predicted class (%) | | |
|------------------|---------------------|-----------|------------|
| | helmet | no helmet | not a head |
| helmet | 60.91 | 24.77 | 9.30 |
| no helmet | 34.55 | 62.39 | 11.63 |
| not a head | 4.55 | 12.84 | 79.07 |

ดังนั้น ผลการทดสอบการแยกหมวดนิรภัยจากข้อมูลจริงรวมกันทั้ง 2 เลนที่ K เป็น 1 ให้ค่าความถูกต้องถึง 68.10%
ที่ค่า K เป็น 3 ให้ผลการทดสอบดังนี้

ตารางที่ 4.27 ผลการทดสอบจากข้อมูลจริงรวมกันทั้ง 2 เลนที่ K เป็น 3

| Actual class (%) | Predicted class (%) | | |
|------------------|---------------------|-----------|------------|
| | helmet | no helmet | not a head |
| helmet | 62.83 | 23.58 | 7.75 |
| no helmet | 25.66 | 72.64 | 11.63 |
| not a head | 11.50 | 3.77 | 80.62 |

ดังนั้น ผลการทดสอบการแยกหมวดนิรภัยจากข้อมูลจริงรวมกันทั้ง 2 เลนที่ K เป็น 3 ให้ค่าความถูกต้องถึง 72.41%
ที่ค่า K เป็น 5 ให้ผลการทดสอบดังนี้

ตารางที่ 4.28 ผลการทดสอบจากข้อมูลจริงรวมกันทั้ง 2 เลนที่ K เป็น 5

| Actual class (%) | Predicted class (%) | | |
|------------------|---------------------|-----------|------------|
| | helmet | no helmet | not a head |
| helmet | 66.36 | 22.33 | 7.41 |
| no helmet | 27.27 | 73.77 | 11.11 |
| not a head | 6.36 | 3.88 | 81.48 |

ดังนั้น ผลการทดสอบการแยกหมวดนิรภัยจากข้อมูลจริงรวมกันทั้ง 2 เลนที่ K เป็น 5 ให้ค่าความถูกต้องถึง 74.43%
ที่ค่า K เป็น 7 ให้ผลการทดสอบดังนี้

ตารางที่ 4.29 ผลการทดสอบจากข้อมูลจริงรวมกันทั้ง 2 เลนที่ K เป็น 7

| Actual class (%) | Predicted class (%) | | |
|------------------|---------------------|-----------|------------|
| | helmet | no helmet | not a head |
| helmet | 66.98 | 22.94 | 7.52 |
| no helmet | 24.53 | 71.56 | 12.78 |
| not a head | 8.49 | 5.50 | 79.70 |

ดังนี้ ผลการทดสอบการแยกหมวดวิกฤตจากข้อมูลจริงรวมกันทั้ง 2 เลนที่ K เป็น 7 ให้ค่าความถูกต้องถึง 73.28%

ที่ค่า K เป็น 9 ให้ผลการทดสอบดังนี้

ตารางที่ 4.30 ผลการทดสอบจากข้อมูลจริงรวมกันทั้ง 2 เลนที่ K เป็น 9

| Actual class (%) | Predicted class (%) | | |
|------------------|---------------------|-----------|------------|
| | helmet | no helmet | not a head |
| helmet | 66.35 | 22.94 | 8.89 |
| no helmet | 25.00 | 73.39 | 11.11 |
| not a head | 8.65 | 3.67 | 80.00 |

ดังนี้ ผลการทดสอบการแยกหมวดวิกฤตจากข้อมูลจริงรวมกันทั้ง 2 เลนที่ K เป็น 9 ให้ค่าความถูกต้องถึง 73.85%

ที่ค่า K เป็น 11 ให้ผลการทดสอบดังนี้

ตารางที่ 4.31 ผลการทดสอบจากข้อมูลจริงรวมกันทั้ง 2 เลนที่ K เป็น 11

| Actual class (%) | Predicted class (%) | | |
|------------------|---------------------|-----------|------------|
| | helmet | no helmet | not a head |
| helmet | 68.69 | 23.42 | 8.70 |
| no helmet | 23.23 | 72.07 | 13.04 |
| not a head | 8.08 | 4.50 | 78.26 |

ดังนั้น ผลการทดสอบการแยกหมวดนิรภัยจากข้อมูลจริงรวมกันทั้ง 2 เลนที่ K เป็น 11 ให้ค่าความถูกต้องถึง 73.56%

ผลจากการทดสอบพบว่า ที่ค่า K เป็น 5 ให้ผลการทดสอบที่ดีที่สุด โดยใช้คุณลักษณะทั้งหมด 8 คุณลักษณะคือ Average/S.D. ของ Quadrant ที่ 1 – 4 ค่าเฉลี่ยของค่าตี และค่าเฉลี่ยของค่าระดับเทาของ Quadrant ที่ 1 2 และ 4



บทที่ 5

สรุปผลการดำเนินงานและแนวทางพัฒนา

5.1 สรุปผลการทดลอง

การสร้างระบบตรวจจับหมวดนิรภัย ได้มีการแบ่งการทดลองออกเป็น 3 ส่วน คือ การจำแนกวัตถุที่เป็นรถจักรยานยนต์ การแยกจำนวนศีรษะผู้โดยสาร และการตรวจจับหมวดนิรภัย

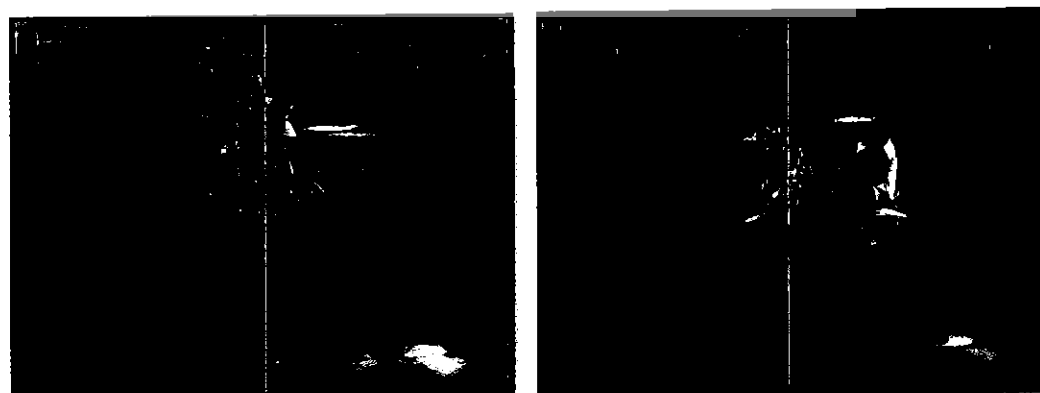
- การแยกวัตถุที่เป็นรถจักรยานยนต์ให้ค่าความถูกต้อง 94.72%
- การแยกจำนวนศีรษะผู้โดยสารให้ค่าความถูกต้อง 83.82%
- การตรวจจับหมวดนิรภัยจากอัลกอริทึมที่ใช้กับภาพที่สมบูรณ์ให้ค่าความถูกต้อง 89.09%
- จากข้อมูลจริงเฉพาะเลนไกลกเลื่อนให้ค่าความถูกต้อง 68.22%
- จากข้อมูลจริงเฉพาะเลนไกลกเลื่อนไก่เล็กให้ค่าความถูกต้อง 84.02%
- จากข้อมูลจริงรวมกันทั้ง 2 เลนให้ค่าความถูกต้อง 74.43%

จะเห็นได้ว่า ผลการตรวจจับหมวดนิรภัยมีค่าความถูกต้องแปรผันตรงกับค่าความถูกต้องของ การแยกจำนวนศีรษะผู้โดยสาร และการแยกวัตถุที่เป็นรถจักรยานยนต์

5.2 วิเคราะห์ปัญหาที่พบ

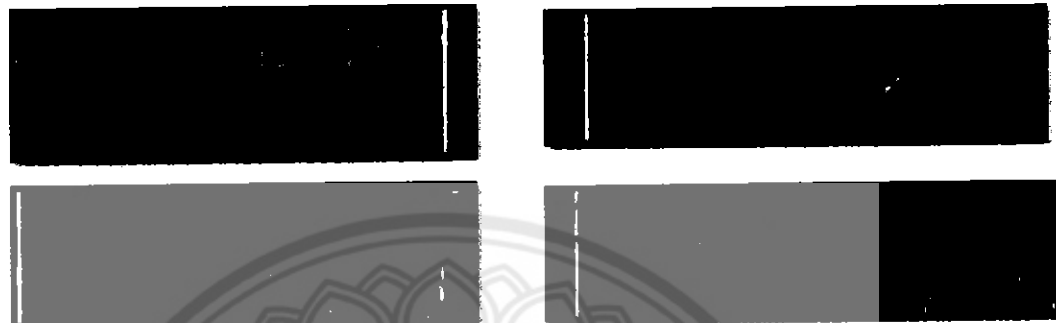
5.2.1 ปัญหาที่เกิดขึ้นจากการทำงานมีความผิดพลาด (System Error)

5.2.1.1 ในโครงการนี้ไม่สามารถตรวจจับรถที่มีลักษณะซ้อนกันได้ เพราะไม่สามารถตัดภาพพื้นหลังเพื่อแยกรถแต่ละคันออกจากกันได้ เมื่องจากอัลกอริทึมที่ใช้ในการตรวจจับวัตถุที่เคลื่อนไหว มีการทำภาพให้เป็นภาพใบหน้าทำให้วัตถุที่กำลังเคลื่อนไหวอยู่ เมื่อสำหรับสีเดียวกันจะทำให้มองภาพเป็นสีเดียวกันโปรแกรมจึงมองเป็นวัตถุเดียวกัน



รูปที่ 5.1 รถที่มีลักษณะซ้อนกัน ทำให้มองเป็นวัตถุเดียวกัน ไม่สามารถแยกได้

5.2.1.2 ผู้โดยสารบนรถจักรยานยนต์นั่งชิดกัน ทำให้ภาพใบหนาริทีอุกมา มีข้อดีค้านบันไม่ชัดเจน เมื่อทำการ โปรแกรมชั้นและตรวจสอบจำนวนผู้โดยสาร ทำให้มีการตรวจสอบการเปลี่ยนแปลงของค่าใบหนาริแล้ว มีการเปลี่ยนแปลงค่าเพียง 2 ครั้ง จึงทำให้โปรแกรมนองว่ามีผู้โดยสารเพียงคน จึงส่งต่อไปยังขั้นตอนของการแยกศีรษะว่ามีเพียงศีรษะเดียว



รูปที่ 5.2 ผู้โดยสารที่นั่งชิดกันจนทำให้ไม่สามารถแยกออกจากกันได้

5.2.2 ปัญหาที่เกิดขึ้นจากระบบไม่สามารถติดตามส่องความคาดหวัง (System Design)

5.2.2.1 การทำ Morphological ภาพวัตถุที่อยู่ในไฟจากกล้อง เวลาตัดภาพจะทำให้มีขนาดเล็ก จำนวนจุดภาพน้อย จึงทำให้ภาพมีความเปลี่ยนแปลงที่มากจากการเพิ่มหรือลดจุดภาพเพียงจุดเดียว เมื่อภาพที่ได้มาจากการ Morphological มีจุดภาพน้อย การนำแบ่งออกเป็น 4 ส่วนแล้วไปประมวลผลในขั้นตอนของการจำแนกหมวดนิรภัยได้ผลออกมาก็พลาด



รูปที่ 5.3 การทำ Morphological กับภาพที่มีความละเอียดไม่เท่ากัน

5.3 ข้อเสนอแนะ

5.3.1 การเพิ่มความละเอียดของภาพให้เหมาะสม และปรับปรุงคุณภาพของภาพให้มีความเสถียร จะช่วยให้ประสิทธิภาพในการตรวจจับหมวดนิรภัยดีขึ้น

5.3.2 ควรตรวจสอบจำนวนศีรษะบนรถจักรยานยนต์ที่มีผู้โดยสารมากกว่า 2 คนได้

5.3.3 ควรปรับปรุงภาพให้สามารถแยกรถที่ซ้อนกันได้

5.3.4 ควรปรับปรุงการหาเส้นรอบ (Contour) ให้ดีขึ้น เพื่อช่วยให้การตรวจจับหมวดนิรภัยมีค่าความถูกต้องมากขึ้น

5.3.5 โครงการนี้ สามารถนำไปปรับใช้กับการรักษาความปลอดภัย เช่น ปรับให้เป็นระบบตรวจจับคนเดินเข้าห้องน้ำ ได้ด้วยการแก้ไขเพียงเล็กน้อย เพียงปรับค่าในส่วนของอัลกอริทึมที่ใช้แยกรถจักรยานยนต์ใหม่ เพราะการตรวจจับคนเดิน จะมีขนาดของวัตถุที่เคลื่อนไหว อัตราส่วนและค่าเบี่ยงเบนมาตรฐานของค่าสีแตกต่างจากรถจักรยานยนต์ และนำเอาอัลกอริทึมในการนับจำนวนคนออก เพราะกล้องตรวจจับคนเดิน ไม่จำเป็นต้องนับจำนวนคน จากนั้นทำการเทรนช้อมูลใหม่ เพียงเท่านี้ ก็จะได้ระบบตรวจจับคนเดินเข้าห้องน้ำที่สามารถตรวจบุคคลต้องสงสัยได้ ดังรูปที่ 5.4



รูปที่ 5.4 ตัวอย่างของระบบตรวจจับคนเดินที่ปรับใช้จากโครงการ

เอกสารอ้างอิง

- [1] กองสารนิเทศ สำนักงานปลัดกระทรวงมหาดไทย. (2538). คู่มือ การรณรงค์การใช้เข็มขัดนิรภัย และหมวกนิรภัย. (พิมพ์ครั้งที่ 1). กรุงเทพฯ: พิมพ์ดี.
- [2] ยุทธนา วรุณปิติกุล. (2548). เส้นทางอุบัติ...แห่งอุบัติเหตุ. กรุงเทพฯ: B612.
- [3] บุญญฤทธิ์ สมัครรบ. (2551). โปรแกรมตรวจจับความเคลื่อนไหวด้วยกล้องเว็บแคม. วิทยานิพนธ์ วศ.บ., มหาวิทยาลัยเรศวร, พิษณุโลก.
- [4] ทัศนันท์ จันทร. การตรวจสอบความผิดปกติแบบอัตโนมัติในการประกอบแขนกางหมูนและชุดลวด. วิทยานิพนธ์ วศ.บ., มหาวิทยาลัยเชียงใหม่, เชียงใหม่. สืบค้นเมื่อ 24 กรกฎาคม 2555. จาก http://archive.lib.cmu.ac.th/full/T/2551/enc01051tj_ch2.pdf
- [5] กิตากร ตั้งสุจริตธรรม, วิรรงรอง อุ่นไทย และสิตานัน วัชร โชค. (2552). ระบบตรวจจับการสวมใส่หมวกนิรภัยของผู้ขับขี่รถจักรยานยนต์บนท้องถนนแบบทันที. วิทยานิพนธ์ วท.บ., จุฬาลงกรณ์มหาวิทยาลัย, กรุงเทพฯ. สืบค้นเมื่อ 24 มิถุนายน 2555. จาก <http://161.200.126.13/download/SeniorProject2552/Comp/Real%20time%20helmet%20wearing%20detection%20of%20motorcyclist%20on%20the%20road.pdf>
- [6] กาญจนा เรืองชนะุรักษ์ และณัฐธิดา ลีสม. (2552). การรู้จำลายมือเขียนภาษาไทยด้วยโครงข่ายประสาทเทียม. วิทยานิพนธ์ วท.บ., มหาวิทยาลัยมหาสารคาม, มหาสารคาม. สืบค้นเมื่อ 24 กรกฎาคม 2555. จาก <http://web.nkc.kku.ac.th/503230318-3/recognition/Doc/2.pdf>
- [7] ณัฐวัชร นาลัย และสินธัย ชินวรรตน์. การวิเคราะห์และตรวจสอบความนพร่องของผ้าข้อม. การศึกษาค้นคว้าด้วยตนเอง, สถาบันเทคโนโลยีพระจอมเกล้าพระนครเหนือ, กรุงเทพฯ. สืบค้นเมื่อ 24 กรกฎาคม 2555. จาก http://www.tsme.org/ME_NETT/ME_NETT20/article/pdf/amn/AMM045.pdf
- [8] ขั้นตอนวิธีการค้นหาเพื่อนบ้านใกล้สุด k ตัว (ออนไลน์). สืบค้นเมื่อ 15 มีนาคม 2556. สืบค้นจาก: http://th.wikipedia.org/wiki/%E0%B8%82%E0%B8%B1%E0%B9%89%E0%B8%99%E0%B8%95%E0%B8%AD%E0%B8%99%E0%B8%A7%E0%B8%B4%E0%B8%98%E0%B8%B5%E0%B8%81%E0%B8%B2%E0%B8%A3%E0%B8%84%E0%B9%89%E0%B8%95%E0%B8%AB%E0%B8%B2%E0%B9%80%E0%B8%9E%E0%B8%7%E0%B9%88%E0%B8%AD%E0%B8%99%E0%B8%9A%E0%B9%89%E0%B8%2%E0%B8%99%E0%B9%83%E0%B8%81%E0%B8%A5%E0%B9%89%E0%B8%AA%E0%B8%B8%E0%B8%94_k_%E0%B8%95%E0%B8%B1%E0%B8%A7
- [9] Statistical Forecasting Bureau, "Key Statistics of Thailand 2012," National Statistical

- Office, Ministry of Information and Communication Technology, Bangkok, Rep., 2012.
- [10] Office of Transport and Traffic Policy and Planning. (2012). “อัตราอุบัติเหตุ อัตราตาย อัตราบาดเจ็บ ต่อประชากร 100,000 คน ต่อ yuan พาหนะจดทะเบียน 10,000 คัน และต่อปริมาณการเดินทาง 100 ล้านกิโลเมตร ปี 2545-2554 [Accident Rate, Mortality Rate, Injury Rate per 100,000 Population per 10,000 Registered Vehicles, and per 100 Million Vehicles-Kilometer, Year 2002 – 2012] [Online]. Available: http://www.otp.go.th/th/pdf/Statistic/accident/acc_compare_person_54
- [11] Y. Tanaboriboon and T. Satiennam, “Road Accidents in Thailand,” J. Int. Assoc. of Traffic and Safety Sci., IATSS Research, Vol. 29, No.1, pp.88-100, 2005.
- [12] World Health Organization, Country Office for Thailand. (2012, August 16). “Road Safety,” [Online]. Available: <http://www.whothailand.org/en/Section3/Section132.htm>.
- [13] Thai Road Foundation and Thai Health Promotion Foundation. (2012). “ผลสำรวจอัตราการสวมหมวกนิรภัยของผู้ใช้รถจักรยานยนต์ในประเทศไทย ปี 2553 และ 2554 [Survey Results of Helmet Using Rate of Motorcyclists in Thailand during 2010 and 2011] [Online]. Available: <http://www.roadsafetythailand.com/main/files/data1/2012-01-01-helmet-wearing-rate-2554.pdf>
- [14] C. C. Chin, M. Y. Ku, and H. T. Chen. “Motorcycle Detection and Tracking System with Occlusion Segmentation,” 8th Int. Workshop on Image Anal. for Multimedia Interactive Services, 2007. 32-32.
- [15] M. Y. Ku, C. C. Chin, H. T. Chen, and S. H. Hong. “Visual Motorcycle Detection and Tracking Algorithms,” WSEAS Trans. Electron., Vol. 5, No. 4, pp. 121-131, Apr. 2008.
- [16] C. C. Liu, J. S. Liao, W. Y. Chen, and J. H. Chen. “The Full Motorcycle Helmet Detection Scheme Using Canny Detection,” 18th IPPP Conf. on CVGIP, 2005. 1104-1110.
- [17] C. Y. Wen, S. H. Chiu, J. J. Liaw, and C. P. Lu. “The Safety Helmet Detection for ATM’s Surveillance System via the Modified Hough transform,” IEEE 37th Annual ICCST, 2003. 364–369.
- [18] C. Y. Wen. “The Safety Helmet Detection Technology and Its Application to the Surveillance System,” J. Forensic Sci., Vol. 49, No. 4, pp. 770-780, Jul. 2004.
- [19] J. Chiverton, “Helmet presence classification with motorcycle detection and tracking,” IET Intelligent Transport Systems, Vol. 6, No. 3, pp. 259-269, Sep. 2012.

- [20] G. Bradski, and A. Kaehler. “**Image Parts and Segmentation**,” in Learning OpenCV: Computer Vision with the OpenCV Library, Sebastopol: O'Reilly Media, 2008, pp. 265-315.
- [21] G. Bradski, and A. Kaehler. “**Contours**,” in Learning OpenCV: Computer Vision with the OpenCV Library, Sebastopol: O'Reilly Media, 2008, pp. 222-264.
- [22] S. Suzuki, and K. Abe, “**Topological Structural Analysis of Digital Binary Images by Border Following**,” Computer Vision, Graphics and Image Processing, No. 30, pp. 32-46, 1985.
- [23] R. M. Haralick, “**A Measure of Circularity of Digital Figures**,” IEEE Trans. Systems, Man, and Cybernetics, Vol. SMC-4, 1974, pp. 394-396.
- [24] T. Cover, P. Hart, “**Nearest-Neighbor Pattern Classification**,” IEEE Trans. Inf. Theory, pp. 21-27, Jan. 1967.
- [25] ศูนย์รับแจ้งเหตุภัยเดินนิสิต. (2555). วารสารมีชีวิต สีเคลื่อนไหว มน.. 10(138), 20-20.



OpenCv และ Emgu Cv คืออะไร



รูปแสดงสัญลักษณ์ของ OpenCV

OpenCv (Open Source Computer Vision) เป็นคลัง (Library) ของฟังก์ชันโปรแกรมที่ใช้ช่วยในการเขียนโปรแกรมเกี่ยวกับทัศนศาสตร์คอมพิวเตอร์ (computer vision) แบบทันที (Real Time) ซึ่งในปัจจุบันสามารถใช้ได้กับระบบปฏิบัติการ windows, Linux, Mac, iOS และ Android โดยมีอัลกอริทึมที่รองรับแล้วมากกว่า 2,500 อัลกอริทึม มียอดดาวน์โหลดมากกว่า 2.5 ล้านครั้งจากทั่วโลก สามารถรองรับภาษา C, C++, Java และ Python ในการพัฒนาโปรแกรม ซึ่งเวอร์ชันปัจจุบันอยู่ที่ 2.4.3 (ข้อมูลวันที่ 16 ธันวาคม 2555)



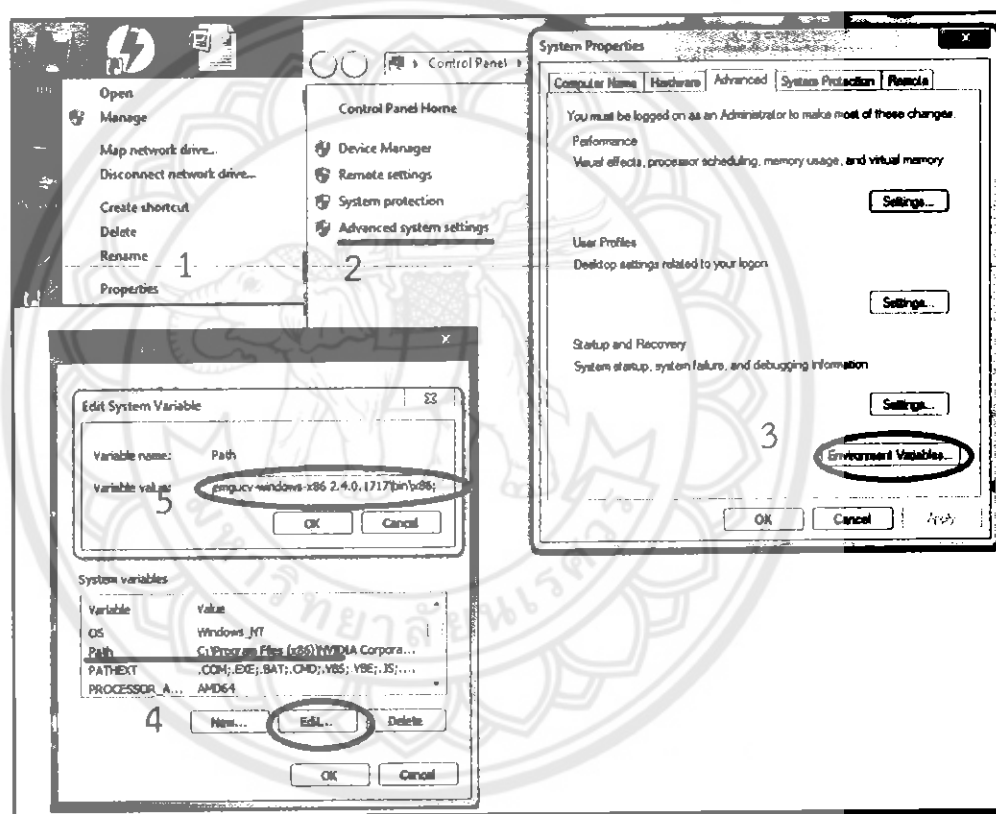
รูปแสดงสัญลักษณ์ของ Emgu CV

Emgu CV เป็นคลัง (Library) ที่ใช้ช่วยในการเขียนโปรแกรมเกี่ยวกับทัศนศาสตร์คอมพิวเตอร์ (computer vision) แบบทันที (Real Time) เมื่อเทียบกับ OpenCV แต่มีความต่างกันตรงภาษาที่ใช้ในการพัฒนาโปรแกรม เพราะ Emgu CV จะใช้ภาษาเจ็พวค .NET ในการพัฒนา เช่น C#, VB, VC++, IronPython ฯลฯ ซึ่งเวอร์ชันปัจจุบันอยู่ที่ 2.4.2 (ข้อมูลวันที่ 16 ธันวาคม 2555)

ประโยชน์ของ OpenCV และ Emgu CV คือการประมวลผลภาพที่ใช้เวลารวดเร็ว เหมาะสมกับการนำไปใช้พัฒนาโปรแกรมที่ต้องการการตอบสนองแบบทันทีได้ และเนื่องจากมี Library ที่รองรับมาก ทำให้การพัฒนาโปรแกรมสามารถทำได้ไม่ยาก

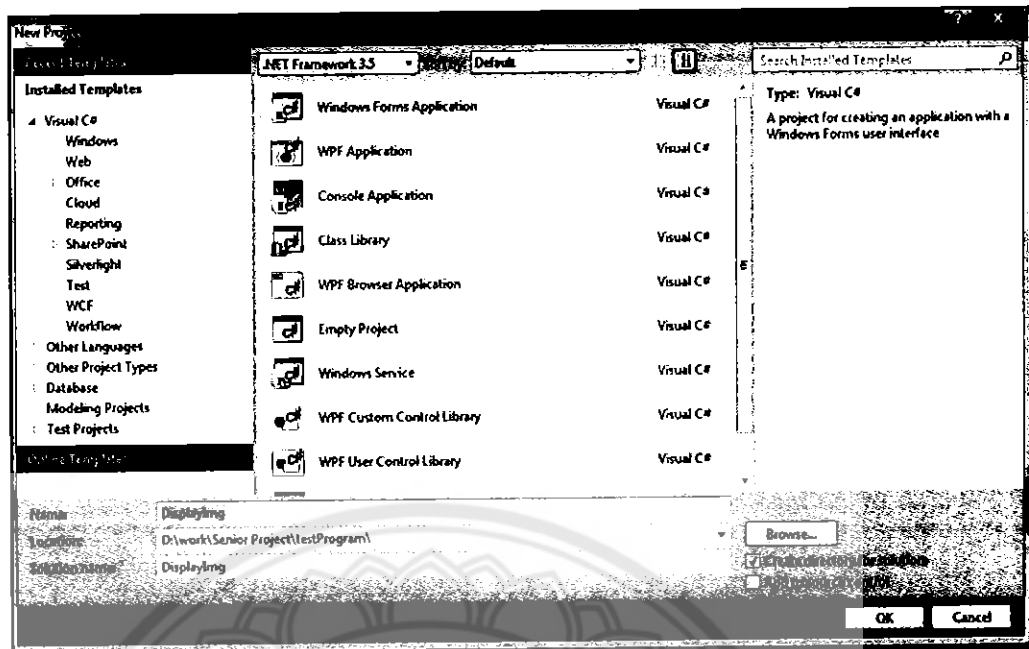
การติดตั้งเพื่อใช้งาน Emgu CV

1. สามารถดาวน์โหลด Emgu CV ได้จากเว็บไซต์ <http://sourceforge.net/projects/emgucv/>
2. ติดตั้งโปรแกรมลงบนเครื่องคอมพิวเตอร์
3. กำหนด Path จากไฟล์ C:\Emgu\emgucv-windows-x86 2.4.0.1717\bin\x86 (สำหรับ Windows 64 bits ก็กำหนดแบบเดียวกัน เพราะ โปรแกรมที่พัฒนาบน Emgu CV ถูกพัฒนาบนมาตรฐานของ 32 bits)



การกำหนด Path ของ Emgu CV

4. เปิดโปรแกรม Microsoft Visual Studio แล้วไปที่ File -> New Project เลือก Visual C# และ Windows Forms Application ตามลำดับแล้วทำการตั้งชื่อ โปรเจค



การสร้างไฟล์โปรแกรมขึ้นใหม่

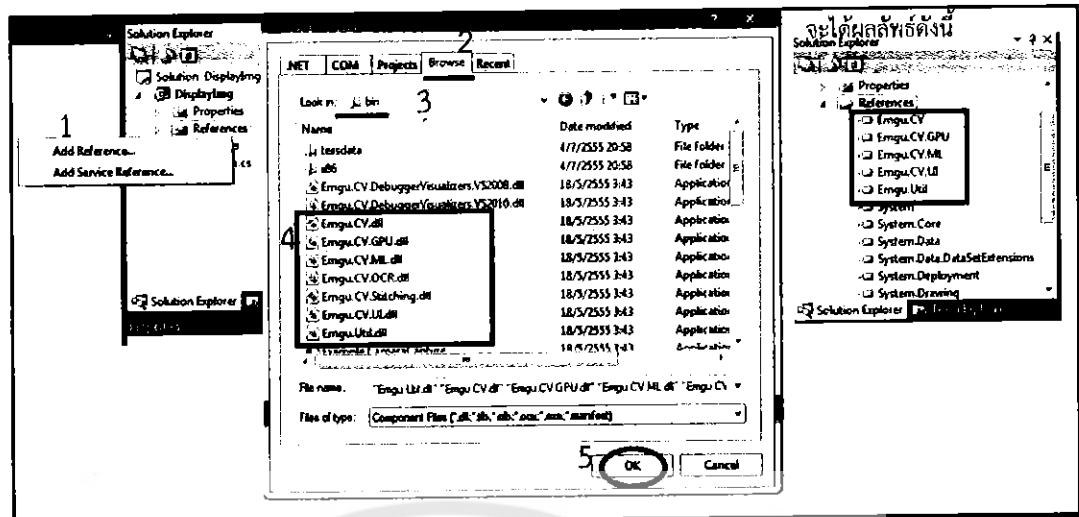
5. เมื่อกดตกลง (OK) แล้วเราจะได้หน้าตาของโปรแกรมเป็นค้างรูปค้างค้าง



แสดงหน้าตาของโปรแกรมที่สร้างขึ้นใหม่

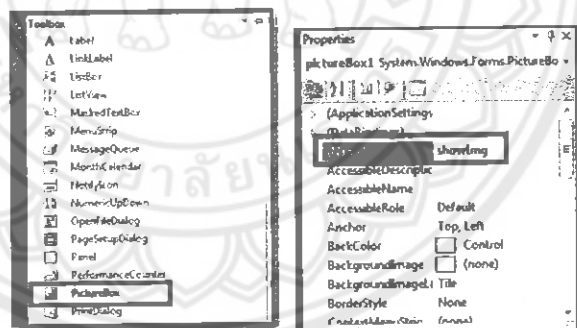
5. ขั้นตอนนี้ถือเป็นหัวใจหลักในการติดตั้งโปรแกรม โดยเริ่มจากคลิกขวาที่ References -> Add References -> Browse แล้วเลือกไฟร์เบอร์ที่ไฟล์เดอร์ Emgu ได้ติดตั้งเอาไว้ เช่น C:\Emgu\emgucv-windows-x86 2.4.0.1717\bin แล้วเลือกตามวงเล็บค้างค้าง

(Emgu.CV.dll, Emgu.CV.GPU.dll, Emgu.CV.ML.dll, Emgu.CV.UI.dll, Emgu.Util.dll)



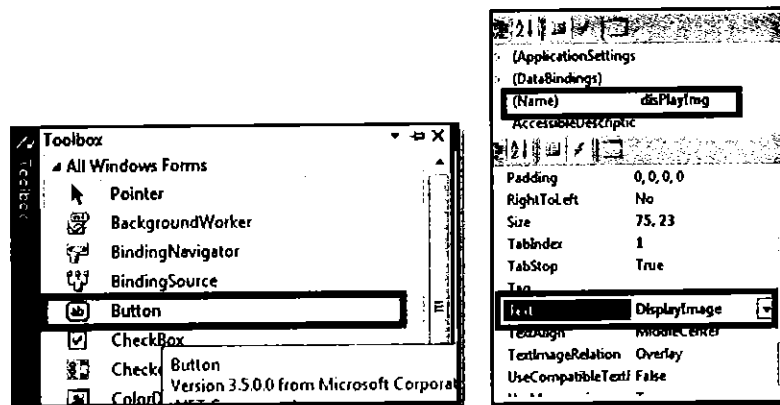
การเพิ่ม Library ในการติดตั้ง Emgu CV

6. กลับมาที่หน้า Form1.cs จะทดลองสร้าง GUI ที่จะใช้แสดงรูปภาพ อันดับแรกเริ่มด้วยสร้างฟันที่ที่จะไว้ใช้แสดงรูป โดยเลือก View -> ToolBox (Ctrl +W,X) -> PictureBox -> แล้วลากไปไว้บน Form1 จากนั้นปรับขนาดตามต้องการ -> กำหนด (Name) : showImg (เป็นชื่อตัวอย่างซึ่งสามารถใช้ชื่ออะไรก็ได้)



การสร้างกล่องสำหรับแสดงภาพ

เลือก ToolBox -> Button -> แล้วลากไปไว้บน Form1 -> ปรับขนาดตามต้องการ -> กำหนด (Name): disPlayImg (เป็นชื่อตัวอย่างซึ่งสามารถใช้ชื่ออะไรก็ได้) (Text): DisplayImage (เป็นชื่อตัวอย่างซึ่งสามารถใช้ชื่ออะไรก็ได้)



การสร้างปุ่มสำหรับคลิก

7. ที่หน้า Form1 ให้ ดับเบิลคลิกที่ปุ่ม DisplayImage (ชื่อที่ตั้งเอาไว้) จะได้หน้าต่างเป็นดังรูป

```

1  using System;
2  using System.Collections.Generic;
3  using System.ComponentModel;
4  using System.Data;
5  using System.Drawing;
6  using System.Linq;
7  using System.Text;
8  using System.Windows.Forms;
9
10 namespace DisplayImg
11 {
12     public partial class Form1 : Form
13     {
14         public Form1()
15         {
16             InitializeComponent();
17         }
18
19         private void disPlayImg_Click(object sender, EventArgs e)
20         {
21
22         }
23     }
24 }
25

```

หน้าต่างของ Code ในส่วนของปุ่ม DisplayImage

คัดลอก Code ด้านล่างไปไว้ในส่วนหัว (Header) ซึ่งส่วนนี้คือ Library ที่ต้องการเรียกใช้

```

using Emgu.CV;
using Emgu.CV.CvEnum;
using Emgu.CV.Structure;

```

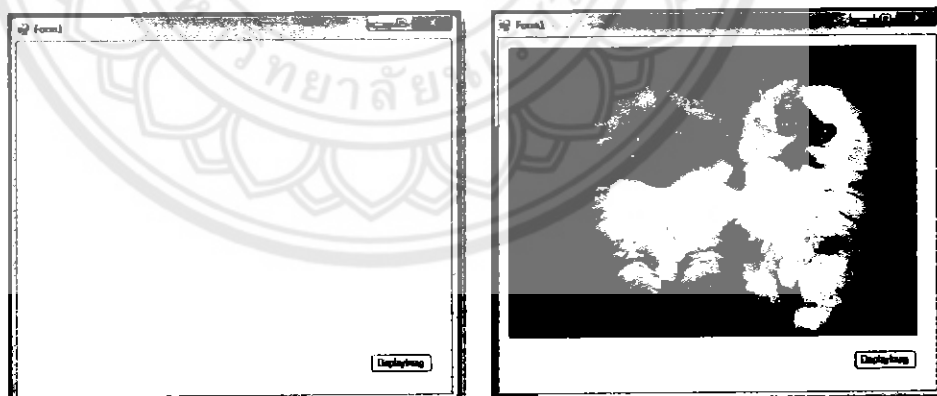
คัดลอก Code ด้านล่างไปไว้ในส่วนของฟังก์ชัน private void disPlayImg_Click(object sender, EventArgs e)

```
Image<Bgr, Byte> img = new Image<Bgr, Byte>("ที่อยู่ของภาพที่ต้องการแสดง");
showImg.Image = img.ToBitmap(showImg.Width, showImg.Height);
```

```
7. using System.Text;
8. using System.Windows.Forms;
9.
10. using Emgu.CV;
11. using Emgu.CV.CvEnum;
12. using Emgu.CV.Structure;
13.
14. namespace DisplayImg
15. {
16.     public partial class Form1 : Form
17.     {
18.         public Form1()
19.         {
20.             InitializeComponent();
21.         }
22.
23.         private void disPlayImg_Click(object sender, EventArgs e)
24.         {
25.             Image<Bgr, Byte> img = new Image<Bgr, Byte>("D:/work/Senior Project/testProgram/DisplayImg/Image1.bmp");
26.             showImg.Image = img.ToBitmap(showImg.Width, showImg.Height);
27.         }
28.     }
29. }
```

แสดงการใช้ Code เพื่อรับภาพเข้ามาแสดงผล

8. ทดสอบโดยการเลือก Build -> Build Solution (F6), Debug -> Start without Debugging ถ้าหากค่าถูกต้องจะได้แสดงรูปที่รับเข้ามา ดังรูป



แสดงรูปภาพที่รับเข้ามา